



دانشگاه کردستان  
University of Kurdistan  
زانکوی کوردستان

# Nonlinear Analysis of Structures

## Introduction to Nonlinear Static Analysis

By: Kaveh Karami

Associate Prof. of Structural Engineering

<https://prof.uok.ac.ir/Ka.Karami>

### Introduction to Nonlinear Static Analysis

#### □ Nonlinear Static Analysis (Push Over)



هدف:

I. آشنایی با رفتارهای غیرخطی

II. علل ایجاد رفتار غیرخطی

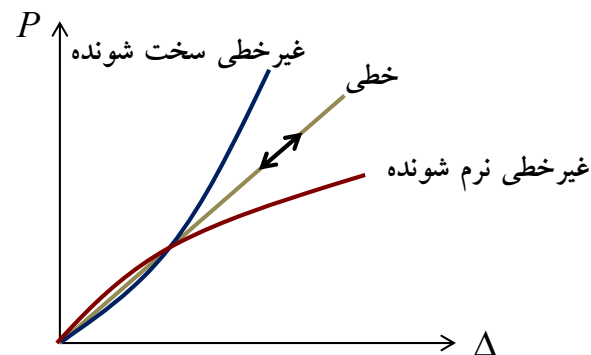
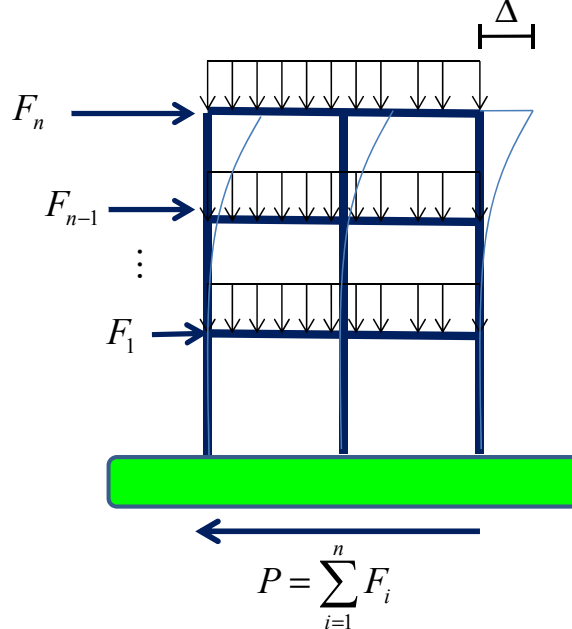
III. نیاز به در نظر گرفتن رفتار غیرخطی

IV. چگونگی منظور نمودن اثرات غیرخطی



# Introduction to Nonlinear Static Analysis

## I. آشنایی با رفتارهای غیرخطی



مستقل از مسیر طی شده (جمع آثار)

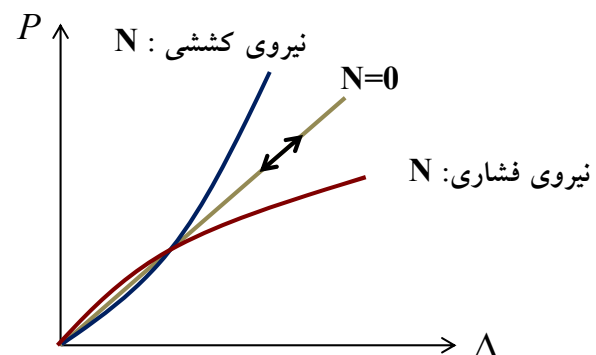
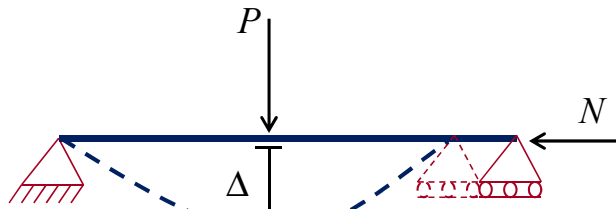
مستقل از تاریخچه بارگذاری

در رفتار خطی میزان تغییر شکل ها

# Introduction to Nonlinear Static Analysis

## I. آشنایی با رفتارهای غیرخطی

تیر-ستون ( Beam-Column )



اگر  $N$  نیروی کششی باشد منحنی رفتار از نوع سخت شونده است.

اگر  $N$  نیروی فشاری باشد منحنی رفتار از نوع نرم شونده است.

# Introduction to Nonlinear Static Analysis

## II. علل ایجاد رفتار غیرخطی

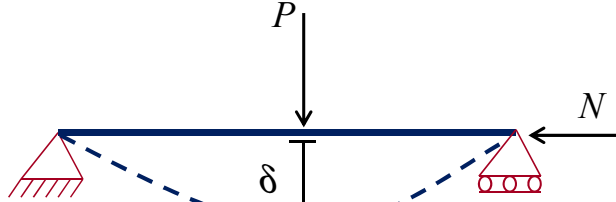
### (Geometry) (a)

#### الف- جابجایی و یا دوران‌های بزرگ (Large Displacement)

- حرکت صلب: بزرگ هستند و کرنش ایجاد نمی‌شود.

- حرکت نسبی (Large Strain): کوچک هستند و تغییر شکل یا کرنش ایجاد می‌شود.

(پایداری ارتجاعی تیموشینکو)



نیروی محوری

خمش دو محوره

پیچش

برش

ب- اثرات اندرکنش

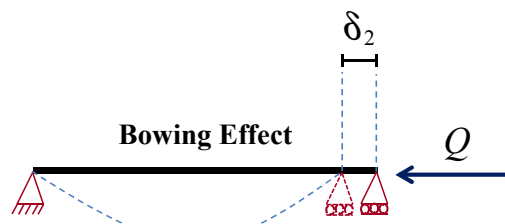
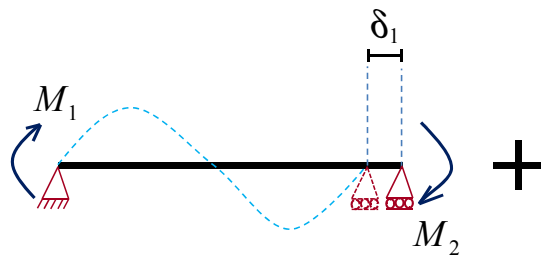
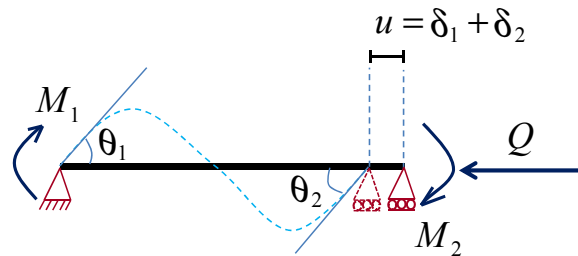
$$M_{Max} = f\left(\frac{Pl}{4}, N \cdot \delta\right)$$

5

## Introduction to Nonlinear Static Analysis

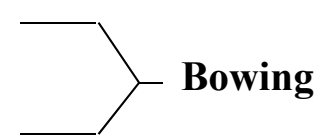
## II. علل ایجاد رفتار غیرخطی

#### پ- اثرات کوتاه شدگی (Bowing Effect)



: کوتاه شدگی که باعث خمش طولی می‌شود

کوتاه شدگی ( $Q$  فشاری) : که باعث افزایش خمش طولی می‌شود



بلند شدگی ( $Q$  کششی) : که باعث کاهش خمش طولی می‌شود

6

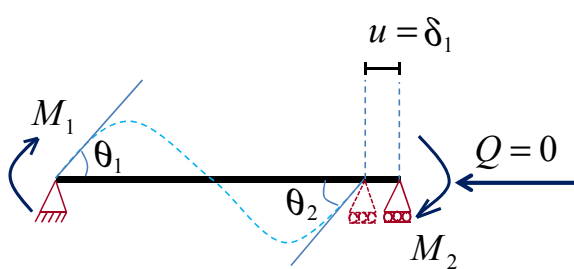
# Introduction to Nonlinear Static Analysis

## II. علل ایجاد رفتار غیرخطی

پ- اثرات کوتاه شدگی ( Bowing Effect )

حالت اول: از اثر Bowing و اندرکنش  $M$  و  $Q$  صرف نظر شود.

$\theta_1$  &  $\theta_2$  &  $u$  is known  $\Rightarrow M_1$  &  $M_2$  to be determined



Slope Deflection:

$$\left\{ \begin{array}{l} M_1 = \frac{EI}{L}(4\theta_1 + 2\theta_2) \\ M_2 = \frac{EI}{L}(2\theta_1 + 4\theta_2) \end{array} \right.$$

7

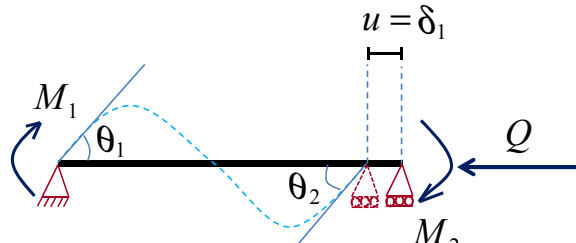
# Introduction to Nonlinear Static Analysis

## II. علل ایجاد رفتار غیرخطی

پ- اثرات کوتاه شدگی ( Bowing Effect )

حالت دوم: از اثر Bowing صرف نظر و اندرکنش  $M$  و  $Q$  در نظر گرفته شود.

$\theta_1$  &  $\theta_2$  &  $u$  is known  $\Rightarrow M_1$  &  $M_2$  &  $Q$  to be determined



$$\left\{ \begin{array}{l} M_1 = \frac{EI}{L}(2C_1 + C_2) \\ M_2 = \frac{EI}{L}(2C_2 + C_1) \\ Q = \frac{AE}{L}(\delta_1) \end{array} \right.$$

$$\left\{ \begin{array}{l} C_1 = f(Q) \\ C_2 = g(Q) \end{array} \right.$$

8

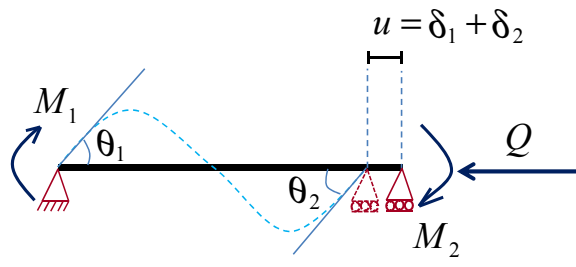
# Introduction to Nonlinear Static Analysis

## II. علل ایجاد رفتار غیرخطی

### پ- اثرات کوتاه شدگی ( Bowing Effect )

حالت سوم: اثر Bowing و اندرکنش  $M$  و  $Q$  در نظر گرفته شود.

$\theta_1$  &  $\theta_2$  &  $u$  is known  $\Rightarrow M_1$  &  $M_2$  &  $Q$  to be determined



$$M_1 = \frac{EI}{L} (2C_1 + C_2)$$
$$M_2 = \frac{EI}{L} (2C_2 + C_1)$$
$$Q = \frac{AE}{L} (\delta_1 - \delta_2)$$

$$C_1 = f(Q)$$
$$C_2 = g(Q)$$
$$\delta_2 = h(C_1, C_2)$$

9

# Introduction to Nonlinear Static Analysis

## II. علل ایجاد رفتار غیرخطی

### (Geometry) (a

ت- اثرات موضعی ( کمانش، لهیدگی و ... )



ث- اعوجاج تصادفی که در اعضا وجود دارد.

( آیا شکل مستطیلی یک مقطع، مستطیل واقعی است؟ )

# Introduction to Nonlinear Static Analysis

## II. علل ایجاد رفتار غیرخطی

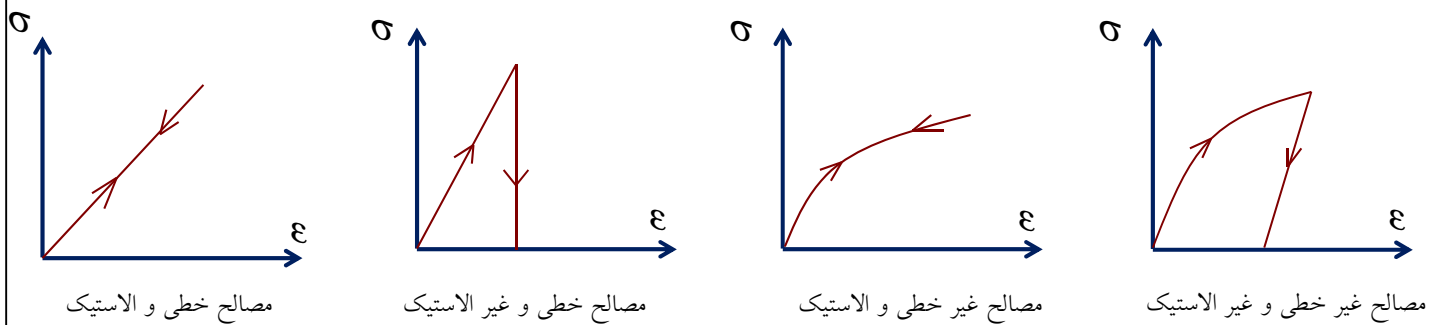
### ( Materials ) مصالح

مصالح خطی: تنش با کرنش تناسب دارد.

مصالح الاستیک (ارتجاعی): مسیرهای بارگذاری و باربرداری بر هم منطبق می‌باشند.

رابطه تنش - کرنش مصالح و در نتیجه سازه‌ها چهار حالت می‌تواند داشته باشند:

1- الاستیک ۲- غیرالاستیک ۳- خطی ۴- غیرخطی



رابطه کرنش - جابجایی دارای دو حالت است : ۱- خطی ۲- غیرخطی

11

# Introduction to Nonlinear Static Analysis

## II. علل ایجاد رفتار غیرخطی

### ( Materials ) مصالح

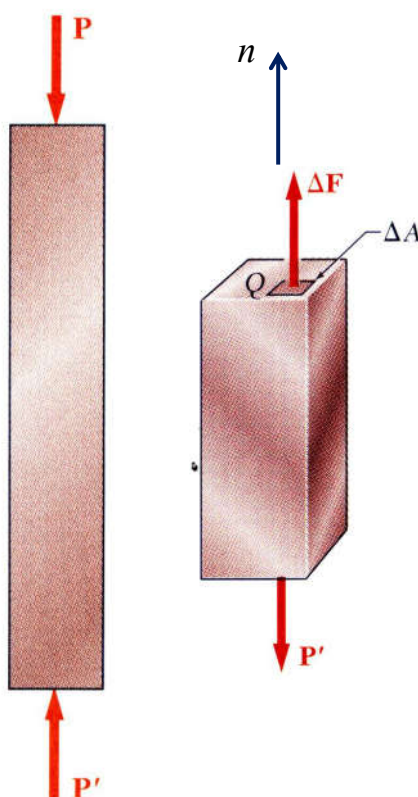
یادآوری : روابط تنش - کرنش

الف - تنش ( Stress )

به مقدار نیروی داخلی وارد بر واحد سطح تنش گفته می‌شود.

کمیت تنش اولین بار توسط کوشی در حدود سال ۱۸۲۲ در

نظریه الاستیسیته معرفی شد.



$$\sigma_n = \lim_{\Delta A \rightarrow 0} \frac{\Delta F}{\Delta A}$$

$\sigma_n$ : تنش روی صفحه‌ای که محور عمود آن  $n$  می‌باشد.

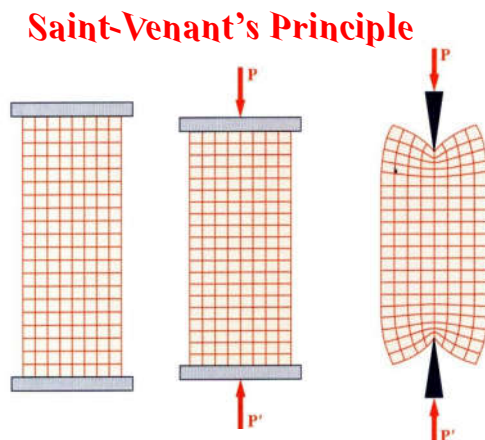
این حد یکتا است و آن را طبق اصل کوشی می‌پذیریم

12

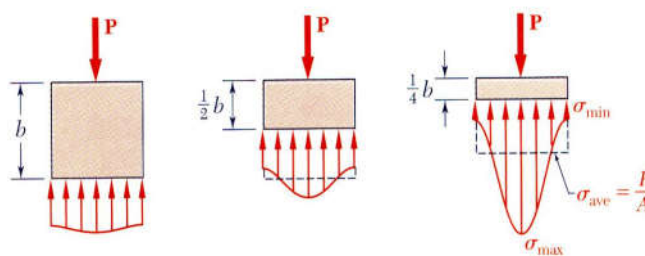
# Introduction to Nonlinear Static Analysis

## II. علل ایجاد رفتار غیرخطی

### الف - تنش ( Stress )



فرض اول (فرض کوشی): توزیع تنش یکنواخت است یعنی اگر تنش را در مساحت ضرب کنیم و در مرکز قرار دهیم ممایی ایجاد نشود. یعنی برآیند فقط یک نیرو است.



$$P = \int dF = \int \sigma dA$$

$$\begin{aligned}\sigma_{\min} &= 0.973\sigma_{\text{ave}} \\ \sigma_{\max} &= 1.027\sigma_{\text{ave}}\end{aligned}$$

$$\begin{aligned}\sigma_{\min} &= 0.668\sigma_{\text{ave}} \\ \sigma_{\max} &= 1.387\sigma_{\text{ave}}\end{aligned}$$

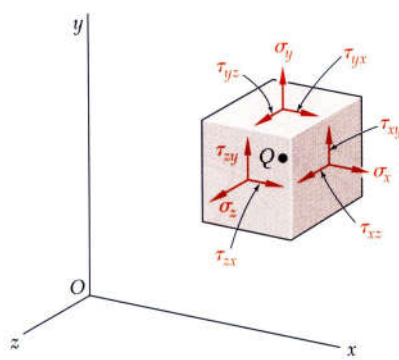
$$\begin{aligned}\sigma_{\min} &= 0.198\sigma_{\text{ave}} \\ \sigma_{\max} &= 2.575\sigma_{\text{ave}}\end{aligned}$$

13

# Introduction to Nonlinear Static Analysis

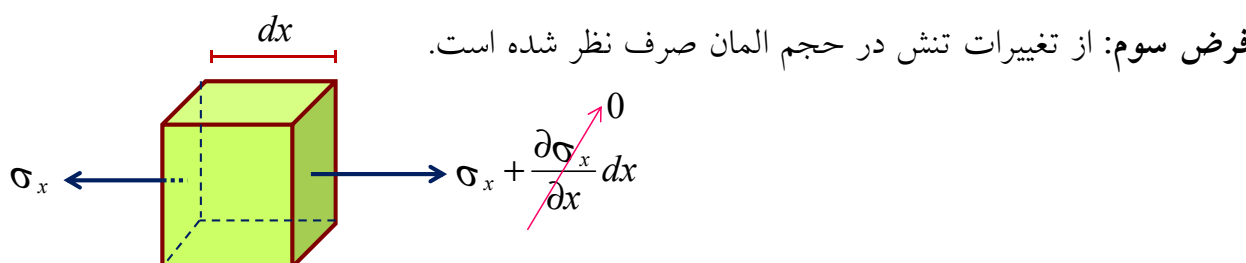
## II. علل ایجاد رفتار غیرخطی

### الف - تنش ( Stress )



فرض دوم: تنش‌های عمودی روی دو سطح عمود برهم مساوی‌اند

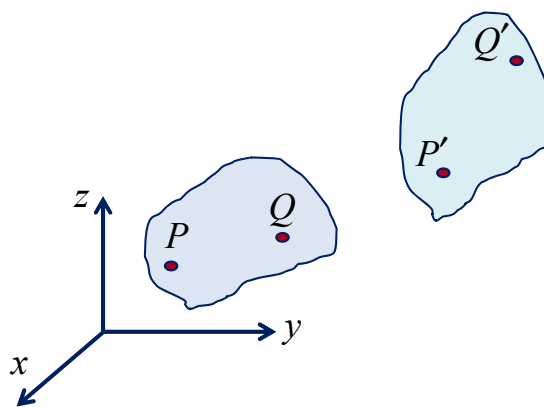
$$(Note: \tau_{xy} = \tau_{yx}, \tau_{yz} = \tau_{zy}, \tau_{zx} = \tau_{xz})$$



فرض چهارم: در نوشتن معادلات تعادل از وزن المان صرف نظر شده است.

14

# Introduction to Nonlinear Static Analysis



## II. علل ایجاد رفتار غیرخطی

### ( Materials )

یادآوری : روابط تنش - کرنش

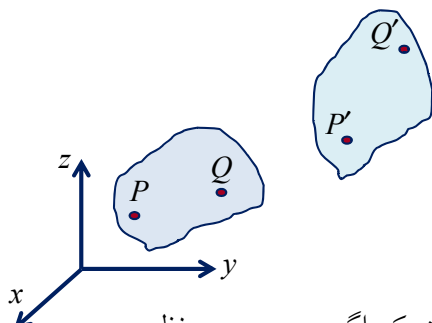
### ( Strain )

تمامی اجسام شکل‌پذیر تحت بارهای مختلف، تغییر مکان (Displacement) و تغییر شکل (Deformation) می‌دهند. بدین معنی که هر نقطه‌ی P از جسم از موقعیت ابتدایی خود که به وسیله مختصات  $(x_p, y_p, z_p)$  در فضا مشخص می‌شود، به موقعیت جدید خود  $p'$  که به وسیله مختصات  $(x_{p'}, y_{p'}, z_{p'})$  مشخص می‌شود، انتقال می‌یابد.

نیروی وارد بر یک جسم در آن دو نوع تغییر مکان ایجاد می‌کند  
نسبی: عامل ایجاد کرنش است

15

# Introduction to Nonlinear Static Analysis

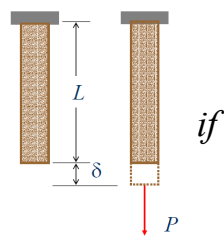


## II. علل ایجاد رفتار غیرخطی

### ( Strain )

بردار  $\vec{PP'}$  را بردار تغییر مکان نقطه‌ی P از جسم می‌نامند. واضح است که اگر جسم مورد نظر شکل‌پذیر باشد، در این صورت تغییر مکان نقاط مختلف آن با هم مساوی نیستند. عدم تساوی تغییر مکان‌های نقاط یک جسم، باعث تغییر شکل (Deformation) آن می‌شود. تغییر شکل یک جسم، توسط کمیت مؤلفه‌های مختلف کرنش در هر نقطه از جسم بیان می‌گردد.

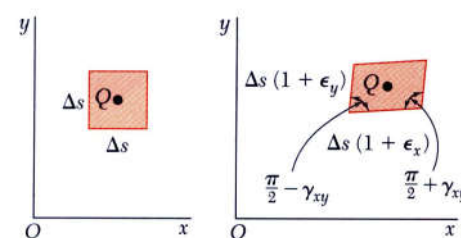
کرنش محوری (نرمال)



if  $A = cte$

$$e = \frac{\delta}{L}$$

کرنش برشی: ناشی از تغییرات زاویه



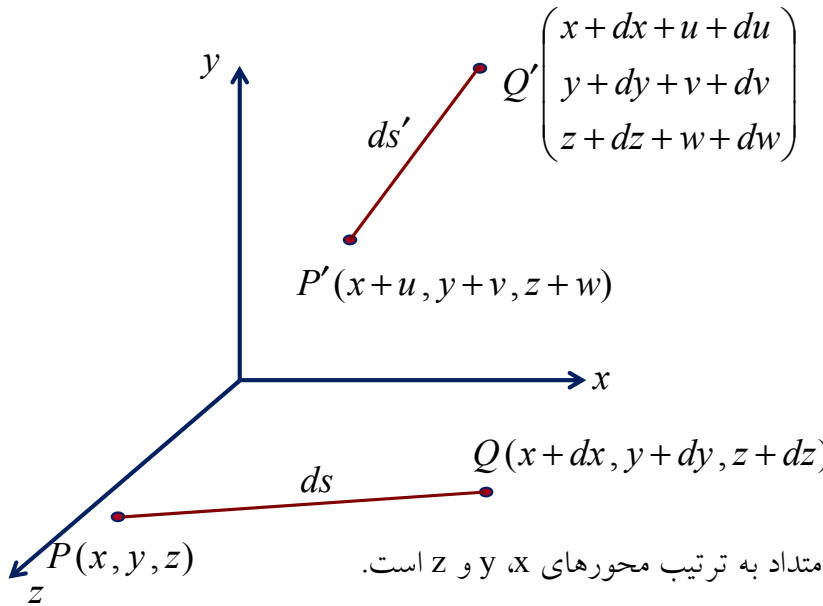
16

# Introduction to Nonlinear Static Analysis

## II. علل ایجاد رفتار غیرخطی

ب- کرنش (Strain)

- کرنش محوری (نرمال)



u، v و w مولفه‌های جابجایی در امتداد به ترتیب محورهای x، y و z است.

هنگامی که یک جسم تغییر شکل می‌یابد، یک ذره در نقطه P به نقطه P' و همچنین ذرهای در نقطه Q به نقطه Q' انتقال می‌یابد و عنصر خطی بینها کوچک PQ به طول ds به صورت عنصر خطی P'Q' به طول ds' در می‌آید.

17

# Introduction to Nonlinear Static Analysis

## II. علل ایجاد رفتار غیرخطی

ب- کرنش (Strain)

- کرنش محوری (نرمال)

کرنش محوری مهندسی (Engineering axial strain) در نقطه P به صورت زیر تعریف می‌شود:

$$e = \lim_{ds \rightarrow 0} \frac{ds' - ds}{ds}$$

این کرنش در مقاومت مصالح، تئوری‌های ابتدایی و تئوری‌های تغییرشکل کوچک کاربرد دارد.

کرنش محوری لاغرانژی (Lagrangian axial strain) در نقطه P به صورت زیر تعریف می‌شود

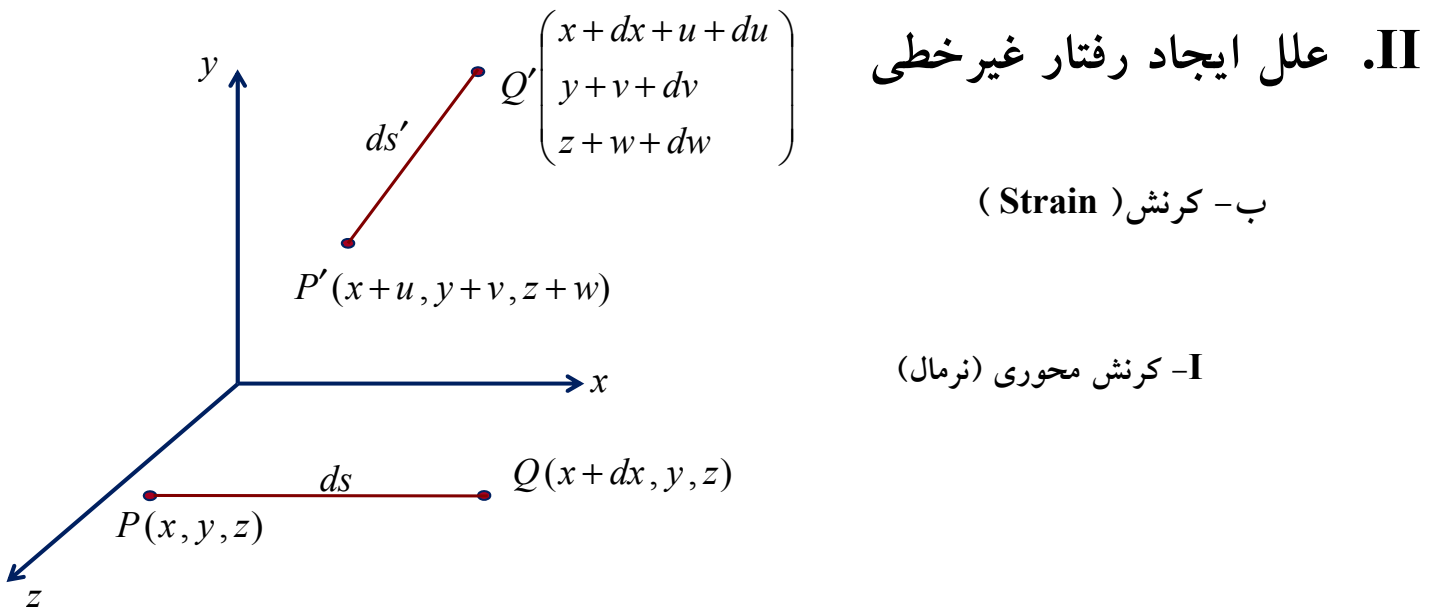
$$\epsilon = \lim_{ds \rightarrow 0} \frac{(ds')^2 - (ds)^2}{2(ds)^2}$$

که در تغییر شکل‌های بزرگ کاربرد دارد:

این کرنش در تئوری‌های تغییرشکل‌های بزرگ کاربرد دارد.

18

# Introduction to Nonlinear Static Analysis



کرنش محوری را می‌توان به وسیله تغییرات مکان نقطه P بیان نمود. فرض می‌کنیم که کرنش لاغرانژی محوری نقطه P در امتداد محور x ها مورد توجه باشد، در این صورت به موازات محور ox بدار PQ را در نظر می‌گیریم.

$$|PQ| = dx$$

$$|P'Q'| = \left[ (dx + du)^2 + dv^2 + dw^2 \right]^{\frac{1}{2}}$$

طول PQ و P'Q' به صورت زیر محاسبه می‌شود :

19

# Introduction to Nonlinear Static Analysis

## II. علل ایجاد رفتار غیرخطی

ب - کرنش (Strain)

I - کرنش محوری (نرمال)

در این صورت کرنش محوری لاغرانژی در نقطه i در جهت محور ox عبارت است از:

$$\epsilon = \lim_{ds \rightarrow 0} \frac{(ds')^2 - (ds)^2}{2(ds)^2} \Rightarrow$$

$$\epsilon_{xx} = \lim_{ds \rightarrow 0} \frac{(dx + du)^2 + dv^2 + dw^2 - dx^2}{2dx^2} \Rightarrow \boxed{\epsilon_{xx} = \frac{\partial u}{\partial x} + \frac{1}{2} \left[ \left( \frac{\partial u}{\partial x} \right)^2 + \left( \frac{\partial v}{\partial x} \right)^2 + \left( \frac{\partial w}{\partial x} \right)^2 \right]}$$

به همین ترتیب کرنش محوری لاغرانژی در نقطه P در جهت محورهای oy و oz عبارتند از:

$$\epsilon_{yy} = \frac{\partial v}{\partial y} + \frac{1}{2} \left[ \left( \frac{\partial u}{\partial y} \right)^2 + \left( \frac{\partial v}{\partial y} \right)^2 + \left( \frac{\partial w}{\partial y} \right)^2 \right]$$

$$\epsilon_{zz} = \frac{\partial w}{\partial z} + \frac{1}{2} \left[ \left( \frac{\partial u}{\partial z} \right)^2 + \left( \frac{\partial v}{\partial z} \right)^2 + \left( \frac{\partial w}{\partial z} \right)^2 \right]$$

20

# Introduction to Nonlinear Static Analysis

$$\begin{aligned}\varepsilon_{xx} &= \frac{\partial u}{\partial x} + \frac{1}{2} \left[ \left( \frac{\partial u}{\partial x} \right)^2 + \left( \frac{\partial v}{\partial x} \right)^2 + \left( \frac{\partial w}{\partial x} \right)^2 \right] \\ \varepsilon_{yy} &= \frac{\partial v}{\partial y} + \frac{1}{2} \left[ \left( \frac{\partial u}{\partial y} \right)^2 + \left( \frac{\partial v}{\partial y} \right)^2 + \left( \frac{\partial w}{\partial y} \right)^2 \right] \\ \varepsilon_{zz} &= \frac{\partial w}{\partial z} + \frac{1}{2} \left[ \left( \frac{\partial u}{\partial z} \right)^2 + \left( \frac{\partial v}{\partial z} \right)^2 + \left( \frac{\partial w}{\partial z} \right)^2 \right]\end{aligned}$$

## II. علل ایجاد رفتار غیرخطی

ب - کرنش (Strain)

I - کرنش محوری (نرمال)

کرنش محوری مهندسی در نقطه‌ی P درجهت محورهای oz, oy, ox عبارت است از:

$$\varepsilon_{xx} = \frac{\partial u}{\partial x}, \quad \varepsilon_{yy} = \frac{\partial v}{\partial y}, \quad \varepsilon_{zz} = \frac{\partial w}{\partial z}$$

در واقع اگر از جملات درجه دومی موجود در کرنش محوری لاغرانژی صرف نظر کنیم، به کرنش محوری مهندسی می‌رسیم و این امر در واقع در تغییرشکل‌های بسیار کوچک امکان‌پذیر است و اساساً کرنش‌های محوری مهندسی و لاغرانژی هنگامی مساوی فرض می‌شوند که تغییر شکل‌ها و یا کمیت کرنش‌ها کوچک باشند.

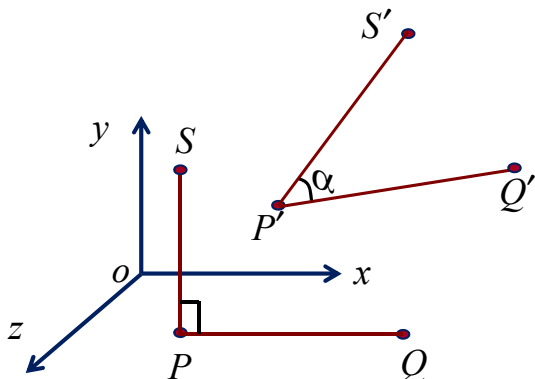
21

# Introduction to Nonlinear Static Analysis

## II. علل ایجاد رفتار غیرخطی

ب - کرنش (Strain)

II - کرنش برشی (زاویه‌ای)



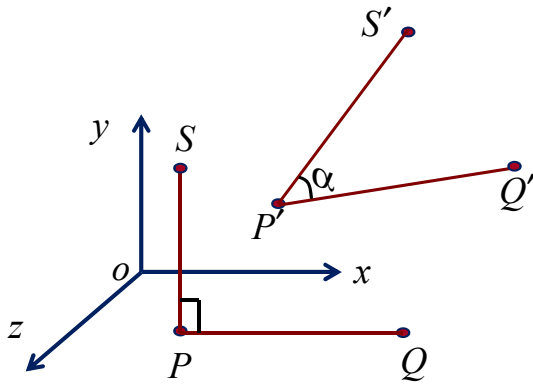
کرنش برشی لاغرانژی نقطه‌ی P در صفحه‌ای به موازی oxy, oyz و oxz به صورت زیر می‌باشد:

$$\begin{aligned}\varepsilon_{xy} &= \varepsilon_{yx} = \frac{1}{2} \left( \frac{\partial v}{\partial x} + \frac{\partial u}{\partial y} + \frac{\partial u}{\partial x} \cdot \frac{\partial u}{\partial y} + \frac{\partial v}{\partial x} \cdot \frac{\partial v}{\partial y} + \frac{\partial w}{\partial x} \cdot \frac{\partial w}{\partial y} \right) \\ \varepsilon_{xz} &= \varepsilon_{zx} = \frac{1}{2} \left( \frac{\partial w}{\partial x} + \frac{\partial u}{\partial z} + \frac{\partial u}{\partial x} \cdot \frac{\partial u}{\partial z} + \frac{\partial v}{\partial x} \cdot \frac{\partial v}{\partial z} + \frac{\partial w}{\partial x} \cdot \frac{\partial w}{\partial z} \right) \\ \varepsilon_{yz} &= \varepsilon_{zy} = \frac{1}{2} \left( \frac{\partial w}{\partial y} + \frac{\partial v}{\partial z} + \frac{\partial u}{\partial y} \cdot \frac{\partial u}{\partial z} + \frac{\partial v}{\partial y} \cdot \frac{\partial v}{\partial z} + \frac{\partial w}{\partial y} \cdot \frac{\partial w}{\partial z} \right)\end{aligned}$$

22

# Introduction to Nonlinear Static Analysis

## II. علل ایجاد رفتار غیرخطی



ب - کرنش (Strain)

- کرنش برشی (زاویه‌ای)

کرنش برشی مهندسی در نقطه P در صفحات Oyz, Oxz, Oxy عبارت‌اند از :

$$\epsilon_{xy} = \frac{1}{2} \left( \frac{\partial v}{\partial x} + \frac{\partial u}{\partial y} \right), \quad \epsilon_{xz} = \epsilon_{zx} = \frac{1}{2} \left( \frac{\partial w}{\partial x} + \frac{\partial u}{\partial z} \right), \quad \epsilon_{yz} = \epsilon_{zy} = \frac{1}{2} \left( \frac{\partial w}{\partial y} + \frac{\partial v}{\partial z} \right)$$

در واقع اگر از جملات درجه دومی موجود در کرنش برشی لاغرانژی صرف نظر نماییم، به کرنش برشی مهندسی می‌رسیم و این در تغییرشکل‌های کوچک امکان‌پذیر است. اساساً کرنش‌های برشی مهندسی و لاغرانژی هنگامی مساوی فرض می‌شوند که تغییرشکل‌ها و یا کمیت کرنش‌ها کوچک باشند.

23

# Introduction to Nonlinear Static Analysis

## II. علل ایجاد رفتار غیرخطی

( Materials ) (b)

پ - رابطه تنش - کرنش ( Stress-Strain Relationship )

I - قانون تعیین یافته هوک ( The Generalized Hooke's Law )

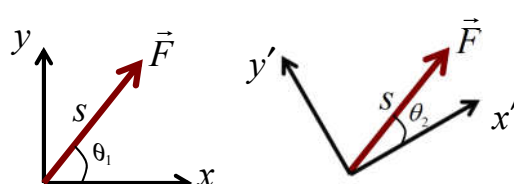
هر یک از مولفه‌های تنش در یک نقطه یک تابع خطی از مولفه‌های کرنش در آن نقطه می‌باشد.

$$\sigma_{ij} = B_{ij} + C_{ijmn} \epsilon_{mn}$$

: تنش‌های اولیه  $B_{ij}$

: تانسور (ماتریس) سختی  $C_{ijmn}$

تانسور ( Tensor ): مقدار فیزیکی که وجود آن مستقل از دستگاه مختصات می‌باشد؛ اما از دستگاه مختصات برای تعریف تانسور بر حسب مولفه‌ها استفاده می‌شود.



مقدار تانسور F در هر دو دستگاه مختصات S می‌باشد.

24

# Introduction to Nonlinear Static Analysis

## II. علل ایجاد رفتار غیرخطی

I - قانون تعمیم یافته هوك (The Generalized Hooke's Law)

$$\sigma_{ij} = B_{ij} + C_{ijmn}\epsilon_{mn}$$

$i, j$ : اندیس‌های آزاد (Free indices) می‌باشند که در یک عبارت فقط یکبار ظاهر می‌شوند.  
 $m, n$ : اندیس‌های جمع (Summation indices) می‌باشند که در یک عبارت بیش از یکبار ظاهر می‌شوند.

درجه تانسور: برابر با تعداد اندیس‌های آزاد تانسور می‌باشد. بنابراین تنش یک تانسور درجه ۲ است.

تعداد مولفه‌های یک تانسور در فضای  $n^P$  بعدی برابر با  $n^P$  است که در آن  $p$  درجه تانسور می‌باشد. بنابراین تعداد مولفه‌های تانسور تنش در فضای سه بعدی برابر با  $9 = 3^2$  است.

25

# Introduction to Nonlinear Static Analysis

## II. علل ایجاد رفتار غیرخطی

I - قانون تعمیم یافته هوك (The Generalized Hooke's Law)

تجزیه تانسور تنش

هیدروستاتیک (Hydrostatic) –



مولفه‌های تانسور تنش

برش خالص (انحرافی) –



هیدروستاتیک: باعث تغییر حجم می‌شود، مکعب یه شکل مکعب باقی می‌ماند، باعث تغییر شکل نمی‌شود.

اثر مولفه‌ها

برش خالص (انحرافی): باعث تغییر زاویه و تغییر شکل می‌شود. اما باعث تغییر حجم نمی‌گردد.

$$\begin{bmatrix} \sigma_{11} & \sigma_{12} & \sigma_{13} \\ \sigma_{21} & \sigma_{22} & \sigma_{23} \\ \sigma_{31} & \sigma_{32} & \sigma_{33} \end{bmatrix} = \begin{bmatrix} -P & 0 & 0 \\ 0 & -P & 0 \\ 0 & 0 & -P \end{bmatrix} + \begin{bmatrix} \sigma_{11} + P & \sigma_{12} & \sigma_{13} \\ \sigma_{21} & \sigma_{22} + P & \sigma_{23} \\ \sigma_{31} & \sigma_{32} & \sigma_{33} + P \end{bmatrix}$$

میدان تنش

مولفه هیدروستاتیک

Deviator مولفه

$$P = -\frac{1}{3}(\sigma_{11} + \sigma_{22} + \sigma_{33})$$

26

# Introduction to Nonlinear Static Analysis

## II. علل ایجاد رفتار غیرخطی

( The Generalized Hooke's Law ) – قانون تعمیم یافته هوك I

$$B_{ij} = 0 \Rightarrow \sigma_{ij} = C_{ijmn} \epsilon_{mn} \quad \text{با فرض تنش اولیه صفر}$$

$$\left[ \begin{array}{c} \sigma_{11} \\ \sigma_{22} \\ \sigma_{33} \\ \sigma_{12} \\ \sigma_{21} \\ \sigma_{13} \\ \sigma_{31} \\ \sigma_{23} \\ \sigma_{32} \end{array} \right]_{9 \times 1} = \left[ \begin{array}{ccccccccc} C_{1111} & C_{1122} & C_{1133} & C_{1112} & C_{1121} & C_{1113} & C_{1131} & C_{1123} & C_{1132} \\ C_{2211} & C_{2222} & C_{2233} & C_{2212} & C_{2221} & C_{2213} & C_{2231} & C_{2223} & C_{2232} \\ C_{3311} & C_{3322} & C_{3333} & C_{3312} & C_{3321} & C_{3313} & C_{3331} & C_{3323} & C_{3332} \\ C_{1211} & C_{1222} & C_{1233} & C_{1212} & C_{1221} & C_{1213} & C_{1231} & C_{1223} & C_{1232} \\ C_{2111} & C_{2122} & C_{2133} & C_{2112} & C_{2121} & C_{2113} & C_{2131} & C_{2123} & C_{2132} \\ C_{1311} & C_{1322} & C_{1333} & C_{1312} & C_{1321} & C_{1313} & C_{1331} & C_{1323} & C_{1332} \\ C_{3111} & C_{3122} & C_{3133} & C_{3112} & C_{3121} & C_{3113} & C_{3131} & C_{3123} & C_{3132} \\ C_{2311} & C_{2322} & C_{2333} & C_{2312} & C_{2321} & C_{2313} & C_{2331} & C_{2323} & C_{2332} \\ C_{3211} & C_{3222} & C_{3233} & C_{3212} & C_{3221} & C_{3213} & C_{3231} & C_{3223} & C_{3232} \end{array} \right]_{9 \times 9} \left[ \begin{array}{c} \epsilon_{11} \\ \epsilon_{22} \\ \epsilon_{33} \\ \epsilon_{12} \\ \epsilon_{21} \\ \epsilon_{13} \\ \epsilon_{31} \\ \epsilon_{23} \\ \epsilon_{32} \end{array} \right]_{9 \times 1}$$

(یعنی برای خصوصیات یک ماده به ۸۱ ثابت فیزیکی نیاز داریم)

27

# Introduction to Nonlinear Static Analysis

## II. علل ایجاد رفتار غیرخطی

( Materials ) b

پ - رابطه تنش - کرنش ( Stress-Strain Relationship )

II - تقارن در خصوصیات مواد ( Material Symmetry Properties )

مواد براساس خصوصیات تقارن شامل ۴ دسته می باشند:

- a) Isotropic Material
- b) Orthotropic Material
- c) Anisotropic Material
- d) Transversely Isotropic

28

# Introduction to Nonlinear Static Analysis

## II. علل ایجاد رفتار غیرخطی

### II - تقارن در خصوصیات مواد (Material Symmetry Properties)

#### a) Isotropic Material

$$E, \nu = cte$$

خصوصیات مواد در تمام جهت‌ها یکسان است  
یعنی مستقل از جهت می‌باشد.

$$\begin{bmatrix} \sigma_{11} \\ \sigma_{22} \\ \sigma_{33} \\ \sigma_{12} \\ \sigma_{13} \\ \sigma_{23} \end{bmatrix}_{6 \times 1} = \begin{bmatrix} C_{1111} & C_{1122} & C_{1122} & 0 & 0 & 0 \\ C_{1122} & C_{1111} & C_{1122} & 0 & 0 & 0 \\ C_{1122} & C_{1122} & C_{1111} & 0 & 0 & 0 \\ 0 & 0 & 0 & \frac{1}{2}(C_{1111} - C_{1122}) & 0 & 0 \\ 0 & 0 & 0 & 0 & \frac{1}{2}(C_{1111} - C_{1122}) & 0 \\ 0 & 0 & 0 & 0 & 0 & \frac{1}{2}(C_{1111} - C_{1122}) \end{bmatrix}_{6 \times 6} \begin{bmatrix} \epsilon_{11} \\ \epsilon_{22} \\ \epsilon_{33} \\ \epsilon_{12} \\ \epsilon_{13} \\ \epsilon_{23} \end{bmatrix}_{6 \times 1}$$

تنش‌های عمودی تابعی از کرنش‌های عمودی و تنش‌های برشی تابعی از کرنش‌های برشی است.

$$C_{1111} = \frac{E(1-\nu)}{(1+\nu)(1-2\nu)}, \quad C_{1122} = \frac{E\nu}{(1+\nu)(1-2\nu)}$$

(یعنی برای خصوصیات ماده به ۲ ثابت  
فیزیکی نیاز داریم)

29

# Introduction to Nonlinear Static Analysis

## II. علل ایجاد رفتار غیرخطی

### II - تقارن در خصوصیات مواد (Material Symmetry Properties)

#### b) Orthotropic Material

یک حالت خاص از ناهمسانگردی می‌باشد. به این معنا که خواص آنها به جهتی که در آن اندازه‌گیری می‌شوند، بستگی دارند. مواد Orthotropic دارای دو یا سه محور تقارن عمود بر هم هستند و در حالت کلی، خواص مکانیکی ماده در طول هر کدام از این محورها با محور دیگر متفاوت است (مانند تنہ درخت).



تنہ درخت سه محور تقارن دارد:

- خصوصیات در جهت x یکسان است.
- خصوصیات در جهت y یکسان است.
- خصوصیات در جهت z یکسان است.

$$E_1, E_2, E_3$$

$$\nu_{12}, \nu_{13}, \nu_{23}$$

$$G_{12}, G_{13}, G_{23}$$

اما خصوصیات در جهت x, y و z با هم تفاوت دارند.

30

# Introduction to Nonlinear Static Analysis

## II. علل ایجاد رفتار غیرخطی

– تقارن در خصوصیات مواد (Material Symmetry Properties) II

### b) Orthotropic Material

$$\begin{Bmatrix} \sigma_{11} \\ \sigma_{22} \\ \sigma_{33} \\ \sigma_{12} \\ \sigma_{13} \\ \sigma_{23} \end{Bmatrix}_{6 \times 1} = \begin{bmatrix} C_{1111} & C_{1122} & C_{1133} & 0 & 0 & 0 \\ C_{2211} & C_{2222} & C_{2233} & 0 & 0 & 0 \\ C_{3311} & C_{3322} & C_{3333} & 0 & 0 & 0 \\ 0 & 0 & 0 & 2C_{1212} & 0 & 0 \\ 0 & 0 & 0 & 0 & 2C_{1313} & 0 \\ 0 & 0 & 0 & 0 & 0 & 2C_{2323} \end{bmatrix}_{6 \times 6} \begin{Bmatrix} \epsilon_{11} \\ \epsilon_{22} \\ \epsilon_{33} \\ \epsilon_{12} \\ \epsilon_{13} \\ \epsilon_{23} \end{Bmatrix}_{6 \times 1}$$

تنش‌های عمودی تابعی از کرنش‌های عمودی و تنش‌های برشی تابعی از کرنش‌های برشی است.

(یعنی برای خصوصیات ماده به ۹ ثابت فیزیکی نیاز داریم)

31

# Introduction to Nonlinear Static Analysis

## II. علل ایجاد رفتار غیرخطی

– تقارن در خصوصیات مواد (Material Symmetry Properties) II

### b) Orthotropic Material

$$\begin{Bmatrix} \sigma_{11} \\ \sigma_{22} \\ \sigma_{33} \\ \sigma_{12} \\ \sigma_{13} \\ \sigma_{23} \end{Bmatrix}_{6 \times 1} = \begin{bmatrix} \frac{1-\nu_{23}\nu_{32}}{E_2 E_3 \Delta} & \frac{\nu_{21}+\nu_{31}\nu_{23}}{E_2 E_3 \Delta} & \frac{\nu_{31}+\nu_{21}\nu_{32}}{E_2 E_3 \Delta} & 0 & 0 & 0 \\ \frac{\nu_{12}+\nu_{13}\nu_{32}}{E_3 E_1 \Delta} & \frac{1-\nu_{13}\nu_{31}}{E_3 E_1 \Delta} & \frac{\nu_{32}+\nu_{31}\nu_{12}}{E_3 E_1 \Delta} & 0 & 0 & 0 \\ \frac{\nu_{13}+\nu_{12}\nu_{23}}{E_1 E_2 \Delta} & \frac{\nu_{23}+\nu_{13}\nu_{21}}{E_1 E_2 \Delta} & \frac{1-\nu_{12}\nu_{21}}{E_1 E_2 \Delta} & 0 & 0 & 0 \\ 0 & 0 & 0 & 2G_{12} & 0 & 0 \\ 0 & 0 & 0 & 0 & 2G_{13} & 0 \\ 0 & 0 & 0 & 0 & 0 & 2G_{23} \end{bmatrix}_{6 \times 6} \begin{Bmatrix} \epsilon_{11} \\ \epsilon_{22} \\ \epsilon_{33} \\ \epsilon_{12} \\ \epsilon_{13} \\ \epsilon_{23} \end{Bmatrix}_{6 \times 1}$$

$$\frac{\nu_{ij}}{E_i} = \frac{\nu_{ji}}{E_j} , \quad \Delta = 1 - \nu_{12}\nu_{21} - \nu_{23}\nu_{32} - \nu_{31}\nu_{13} - 2\nu_{12}\nu_{23}\nu_{31}$$

32

# Introduction to Nonlinear Static Analysis

## II. علل ایجاد رفتار غیرخطی

### II – تقارن در خصوصیات مواد (Material Symmetry Properties)

#### c) Anisotropic Material

موادی هستند که خصوصیات آنها وابسته به جهت است. برخلاف مصالح Isotropic که ویژگی‌های مواد در همه جهت‌ها یکسان است، ویژگی مصالح Anisotropic مانند مدول یانگ در راستای هر جهت تغییر می‌کند. به طور نمونه می‌توان به کامپوزیت‌ها اشاره کرد.

از آنجایی که تانسورهای تنش و کرنش متقارن هستند می‌توان نشان داد که

$$C_{ijmn} = C_{jimn} \quad , \quad C_{ijmn} = C_{ijnm}$$

براساس در نظر گرفتن مقدار انرژی ذخیره شده

$$C_{ijmn} = C_{mjni}$$

33

# Introduction to Nonlinear Static Analysis

## II. علل ایجاد رفتار غیرخطی

### II – تقارن در خصوصیات مواد (Material Symmetry Properties)

#### c) Anisotropic Material

براساس تعداد ضرایب الاستیک مستقل، در حالت کلی برای یک ماده الاستیک Anisotropic تعداد ضرایب الاستیک مستقل ۲۱ عدد می‌باشد.

(۲۱ پارامتر)

$$\begin{Bmatrix} \sigma_{11} \\ \sigma_{22} \\ \sigma_{33} \\ \sigma_{12} \\ \sigma_{13} \\ \sigma_{23} \end{Bmatrix}_{6 \times 1} = \begin{bmatrix} C_{1111} & C_{1122} & C_{1133} & 2C_{1112} & 2C_{1113} & 2C_{1123} \\ C_{2211} & C_{2222} & C_{2233} & 2C_{2212} & 2C_{2213} & 2C_{2223} \\ C_{3311} & C_{3322} & C_{3333} & 2C_{3312} & 2C_{3313} & 2C_{3323} \\ C_{1211} & C_{1222} & C_{1233} & 2C_{1212} & 2C_{1213} & 2C_{1223} \\ C_{1311} & C_{1322} & C_{1333} & 2C_{1312} & 2C_{1313} & 2C_{1323} \\ C_{2311} & C_{2322} & C_{2333} & 2C_{2312} & 2C_{2313} & 2C_{2323} \end{bmatrix}_{6 \times 6} \begin{Bmatrix} \epsilon_{11} \\ \epsilon_{22} \\ \epsilon_{33} \\ \epsilon_{12} \\ \epsilon_{13} \\ \epsilon_{23} \end{Bmatrix}_{6 \times 1}$$

تنش‌های عمودی و تنش‌های برشی تابعی از کرنش‌های عمودی و کرنش‌های برشی می‌باشند.

(یعنی برای خصوصیات ماده به ۲۱ ثابت فیزیکی نیاز داریم)

34

# Introduction to Nonlinear Static Analysis

## II. علل ایجاد رفتار غیرخطی

### II - تقارن در خصوصیات مواد (Material Symmetry Properties)

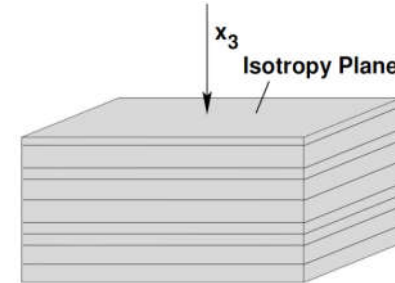
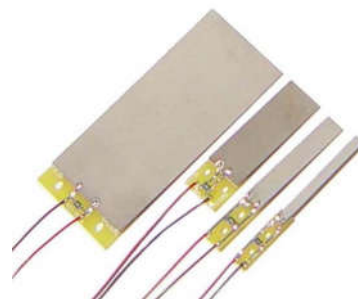
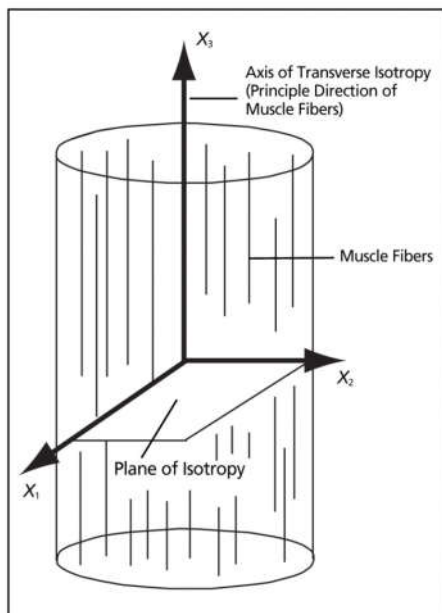
#### d) Transversely Isotropic

حالت خاصی از مصالح orthotropic می‌باشد که دارای یک صفحه تقارن و یک محور تقارن است. خصوصیات مصالح در صفحه تقارن در هر جهت یکسان می‌باشد؛ اما عمود بر صفحه در راستای محور تقارن متفاوت است. به طور نمونه می‌توان به حسگرهای پیزوالکتریک و کامپوزیت‌های مسلح شده با فیبر اشاره کرد

$$E_1 = E_2 = E_p, \quad E_3 = E_t$$

$$\nu_{12} = \nu_{21} = \nu_p, \quad \nu_{31} = \nu_{32} = \nu_{tp}, \quad \nu_{13} = \nu_{23} = \nu_{pt}$$

$$G_p = \frac{E_p}{2(1+\nu_p)}, \quad G_t = \text{Shear modulus in the t-direction}$$



35

# Introduction to Nonlinear Static Analysis

## II. علل ایجاد رفتار غیرخطی

### II - تقارن در خصوصیات مواد (Material Symmetry Properties)

#### d) Transversely Isotropic

$$\left[ \begin{array}{c} \sigma_{11} \\ \sigma_{22} \\ \sigma_{33} \\ \sigma_{12} \\ \sigma_{13} \\ \sigma_{23} \end{array} \right]_{6 \times 1} = \left[ \begin{array}{cccccc} C_{1111} & C_{1122} & C_{1133} & 0 & 0 & 0 \\ C_{1122} & C_{1111} & C_{1133} & 0 & 0 & 0 \\ C_{1133} & C_{1133} & C_{3333} & 0 & 0 & 0 \\ 0 & 0 & 0 & \frac{1}{2}(C_{1111} - C_{1122}) & 0 & 0 \\ 0 & 0 & 0 & 0 & C_{1212} & 0 \\ 0 & 0 & 0 & 0 & 0 & C_{1212} \end{array} \right]_{6 \times 1} \left[ \begin{array}{c} \epsilon_{11} \\ \epsilon_{22} \\ \epsilon_{33} \\ \epsilon_{12} \\ \epsilon_{13} \\ \epsilon_{23} \end{array} \right]_{6 \times 1}$$

تنشی‌های عمودی تابعی از کرنش‌های عمودی و تنشی‌های برشی تابعی از کرنش‌های برشی است.

(یعنی برای خصوصیات ماده به ۵ ثابت فیزیکی نیاز داریم)

36

# Introduction to Nonlinear Static Analysis

## II. علل ایجاد رفتار غیرخطی

(Material Symmetry Properties) - تقارن در خصوصیات مواد II

### d) Transversely Isotropic

$$\left\{ \begin{array}{c} \sigma_{11} \\ \sigma_{22} \\ \sigma_{33} \\ \sigma_{12} \\ \sigma_{13} \\ \sigma_{23} \end{array} \right\}_{6 \times 1} = \left[ \begin{array}{cccccc} E_p(1-v_{pt}v_{tp})\Gamma & E_p(v_p+v_{pt}v_{tp})\Gamma & E_p(v_{tp}+v_pv_{tp})\Gamma & 0 & 0 & 0 \\ E_p(v_p+v_{pt}v_{tp})\Gamma & E_p(1-v_{pt}v_{tp})\Gamma & E_p(v_{tp}+v_pv_{tp})\Gamma & 0 & 0 & 0 \\ E_t(v_{pt}+v_pv_{pt})\Gamma & E_t(v_{pt}+v_pv_{pt})\Gamma & E_t(1-v_p^2)\Gamma & 0 & 0 & 0 \\ 0 & 0 & 0 & G_p & 0 & 0 \\ 0 & 0 & 0 & 0 & G_t & 0 \\ 0 & 0 & 0 & 0 & 0 & G_t \end{array} \right]_{6 \times 1} \left\{ \begin{array}{c} \epsilon_{11} \\ \epsilon_{22} \\ \epsilon_{33} \\ \epsilon_{12} \\ \epsilon_{13} \\ \epsilon_{23} \end{array} \right\}_{6 \times 1}$$

$$\frac{v_{tp}}{E_t} = \frac{v_{pt}}{E_p} , \quad \Gamma = \frac{1}{1-v_p^2 - 2v_{pt}v_{tp} - 2v_pv_{pt}v_{tp}}$$

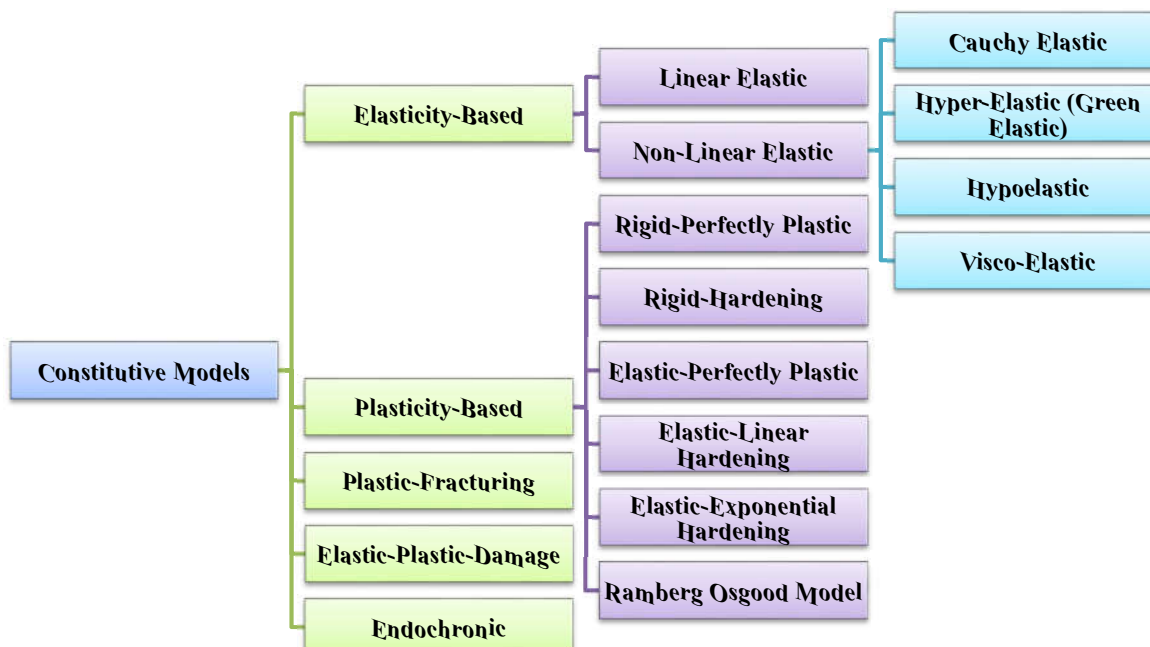
37

# Introduction to Nonlinear Static Analysis

## II. علل ایجاد رفتار غیرخطی ( Materials ) b

پ - رابطه تنش - کرنش ( Stress-Strain Relationship )

( Constitutive Modeling of Materials ) III



38

# Introduction to Nonlinear Static Analysis

## II. علل ایجاد رفتار غیرخطی

### ( Constitutive Modeling of Materials ) – III Elasticity-Based Model

#### a) Linear Elastic Model

در مدل‌های الاستیک خطی وضعیت فعلى تنش وابسطه به وضعیت فعلى کرنش است و این مستقل از تاریخچه کرنش می‌باشد ( یعنی مستقل از مسیر است ).

فرضیات:

$$\sigma_{ij} = \Lambda \epsilon_{kk} \delta_{ij} + 2G \epsilon_{ij}$$

پیوستگی

تنش برشی ایجاد کرنش قائم نمی‌کند. یعنی  $\tau_{xy}$  فقط ایجاد می‌کند.

تنش قائم ایجاد کرنش برشی نمی‌کند.

مصالح ایزوتروپیک گرین.

همگن

$G$  and  $\Lambda$  are elastic constants which referred to as **Lamé's constants**

$\delta_{ij}$  :is Kronecker delta

$$\begin{aligned} & \text{if } i = j \Rightarrow \delta_{ij} = 1 \\ & \text{if } i \neq j \Rightarrow \delta_{ij} = 0 \end{aligned}$$

$$\epsilon_{kk} = \epsilon_{11} + \epsilon_{22} + \epsilon_{33}$$

39

# Introduction to Nonlinear Static Analysis

## II. علل ایجاد رفتار غیرخطی

### ( Constitutive Modeling of Materials ) – III

#### a) Linear Elastic Model

Matrix form

$$\sigma = E \epsilon$$

$$\left[ \begin{array}{c} \sigma_{11} \\ \sigma_{22} \\ \sigma_{33} \\ \sigma_{12} \\ \sigma_{13} \\ \sigma_{23} \end{array} \right]_{6 \times 1} = \left[ \begin{array}{cccccc} \Lambda + 2G & \Lambda & \Lambda & 0 & 0 & 0 \\ \Lambda & \Lambda + 2G & \Lambda & 0 & 0 & 0 \\ \Lambda & \Lambda & \Lambda + 2G & 0 & 0 & 0 \\ 0 & 0 & 0 & G & 0 & 0 \\ 0 & 0 & 0 & 0 & G & 0 \\ 0 & 0 & 0 & 0 & 0 & G \end{array} \right]_{6 \times 6} \left[ \begin{array}{c} \epsilon_{11} \\ \epsilon_{22} \\ \epsilon_{33} \\ \epsilon_{12} \\ \epsilon_{13} \\ \epsilon_{23} \end{array} \right]_{6 \times 1}$$

$$\text{in Isotropic Materials} \Rightarrow \Lambda + 2G = C_{1111}, \quad \Lambda = C_{1122}$$

40

# Introduction to Nonlinear Static Analysis

## II. علل ایجاد رفتار غیرخطی

### ( Constitutive Modeling of Materials ) III – مدل سازی مصالح

#### Elasticity-Based Model

##### b) Non-Linear Elastic Model

عملکرد مدل‌های الاستیک خطی با فرض رفتار الاستیک غیرخطی در روابط تنش-کرنش بهبود قابل توجهی می‌یابد.

###### I. Cauchy Elastic

در مدل کوشی حالت سه محوری تنش، یک تابع غیرخطی از تانسور کرنش است. همچنین این مدل مستقل از مسیر تابع انرژی کرنشی و برگشت پذیر (دارای حرکت رفت و برگشتی) می‌باشد.

$$\sigma_{ij} = f_{ij}(\epsilon_{kl})$$

$$\sigma = \Phi_1 \mathbf{1} + \Phi_2 \boldsymbol{\epsilon} + \Phi_3 \boldsymbol{\epsilon}^2$$

41

# Introduction to Nonlinear Static Analysis

## II. علل ایجاد رفتار غیرخطی

### ( Constitutive Modeling of Materials ) III – مدل سازی مصالح

##### b) Non-Linear Elastic Model

###### II. Hyper-Elastic (Green Elastic) Model

در این مدل وضعیت فعلی تنش وابسطه به وضعیت فعلی کرنش است.

$$\sigma_{ij} = \frac{\partial W_0}{\partial \epsilon_{ij}}$$

انرژی کرنشی در واحد حجم.  $W_0$

تغییرات انرژی کرنشی نسبت به کرنش برابر است با تنش در همان امتداد مشتق (قانون اول کاستیلیانو)

42

# Introduction to Nonlinear Static Analysis

## II. علل ایجاد رفتار غیرخطی

### ( Constitutive Modeling of Materials ) III – مدل سازی مصالح

#### b) Non-Linear Elastic Model

##### III. Hypoelastic Models

در مدل هایی که وضعیت فعلی تنش وابسطه به وضعیت فعلی کرنش است؛ تنش ها به طور یکتا از وضعیت فعلی کرنش محاسبه می شود و بالعکس. بنابرین این گونه مدل ها در عمل برای توصیف مصالحی مانند بتن، که تغییر شکل آن وابسطه به مسیر بارگذاری است، دارای محدودیت می باشند.

یک راه حل برای غلبه بر این مشکل، تعریف رفتار مصالح بر حسب تغییرات جزئی ( Increments ) تنش و کرنش است. در این حالت روابط تنش کرنش با استفاده از سختی مماسی، که با وضعیت فعلی تنش تغییر می کند بیان می گردد. این نوع مدل به طور کلی وابسطه به تاریخچه تغییر شکل ها است. رفتار این مدل در دامنه های کوچک به صورت برگشت پذیر ( رفتار الاستیک ) است.

$$\dot{\sigma}_{ij} = F_{ij}(\dot{\epsilon}_{kl}, \sigma_{mn})$$

تغییرات تنش ( $\dot{\sigma}_{ij}$ ) تابعی از تغییرات کرنش ( $\dot{\epsilon}_{kl}$ ) و تنش در همان زمان مشخص ( $\sigma_{mn}$ ) است.

43

# Introduction to Nonlinear Static Analysis

## II. علل ایجاد رفتار غیرخطی

### ( Constitutive Modeling of Materials ) III – مدل سازی مصالح

#### b) Non-Linear Elastic Model

##### III. Hypoelastic Models

The incremental stress-strain relationship for an orthotropic material

رابطه تنش کرنش نمایی برای مصالح ارتوتروپیک

$$\begin{Bmatrix} d\sigma_{11} \\ d\sigma_{22} \\ d\tau_{12} \end{Bmatrix} = \frac{1}{1-v_{12}v_{21}} \begin{bmatrix} E_1 & v_{21}E_1 & 0 \\ v_{12}E_2 & E_2 & 0 \\ 0 & 0 & (1-v_{12}v_{21})G \end{bmatrix} \begin{Bmatrix} d\epsilon_{11} \\ d\epsilon_{22} \\ d\gamma_{12} \end{Bmatrix}$$

: مدول سختی مماسی لحظه ای در جهت های 1 و 2

: مدول برشی لحظه ای

: ضریب پواسون لحظه ای در جهت i نسبت به تنش تک محوری در جهت j (  $i,j=1,2$  )

44

# Introduction to Nonlinear Static Analysis

## II. علل ایجاد رفتار غیرخطی

## ( Constitutive Modeling of Materials ) - مدل سازی مصالح III

### b) Non-Linear Elastic Model

#### IV. Visco-Elastic Models

این مدل همزمان ویژگی‌های مصالح ویسکوز و الاستیک را دارا می‌باشد. یعنی خصوصیات مکانیک سیالات و جامدات را با هم دارد مانند قیر و عسل.

$$\sigma = E\varepsilon + \eta \dot{\varepsilon}$$

ویژگی جامدات ویژگی سیالات

45

# Introduction to Nonlinear Static Analysis

## II. علل ایجاد رفتار غیرخطی

## ( Constitutive Modeling of Materials ) III – مدل سازی مصالح

## دلیل به کارگیری تنش کرنش غیرالاستیک

بتن حتی تحت اثر بارهای کم در اثر جمع شدگی و خزش رفتار غیرخطی دارد.

در فولاد شرط اصلی ورود به ناحیه غیرخطی میزان تغییرشکل‌های برشی است.

در اثر لغزش و خورد شدن  
سنگ‌ها

از دست دادن آب وجود نیروهای  
واندروالسی و حفره‌های کوچک

## Plasticity-Based Model

تئوری پلاستیسیته در ابتدا برای نشان دادن رفتار غیر خطی مصالح فلزی به طور مناسبی مورد توسعه قرار گرفت. سپس مدل‌های براساس پلاستیسیته فراوانی برای توصیف رفتار بتن به کار گرفته شد. این مدل‌ها ویژگی‌های رفتاری بتن از قبیل غیرخطی، برگشت‌ناپذیری، وابسته به مسیر، اتساع و ... را به خوبی توصیف می‌کند.

# Introduction to Nonlinear Static Analysis

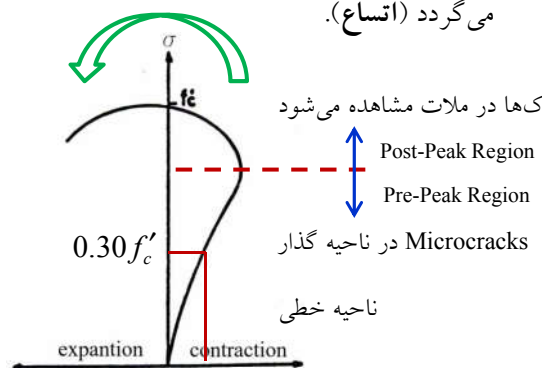
## II. علل ایجاد رفتار غیرخطی

### ( Constitutive Modeling of Materials ) - III

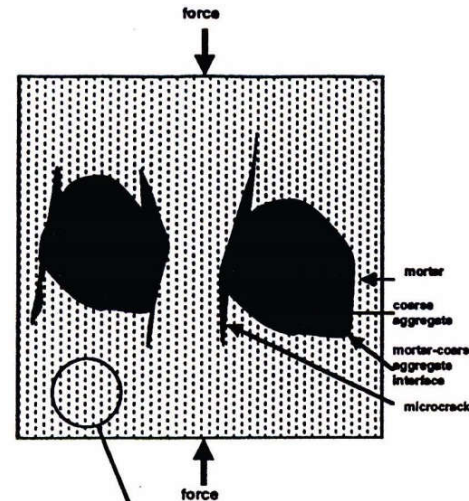
#### Plasticity-Based Model

بتن شامل سه فاز ۱) ملات (Mortar)، ۲) مصالح درشت دانه (Coarse aggregate) و ۳) سطح تماس درشت دانه با ملات (Transition zone) همان ناحیه گذار (Mortar-coarse aggregate interface) می‌باشد.

افزایش ضریب پواسون که منجر به انبساط بتن می‌گردد (اتساع).



Volumetric strain versus uniaxial compressive stress (Kupfer et al., 1969)



در ابتدا تحت اثر نیروهای وارد ترک‌های ریز (Microcracks) در ناحیه گذار تشکیل می‌شوند.

47

# Introduction to Nonlinear Static Analysis

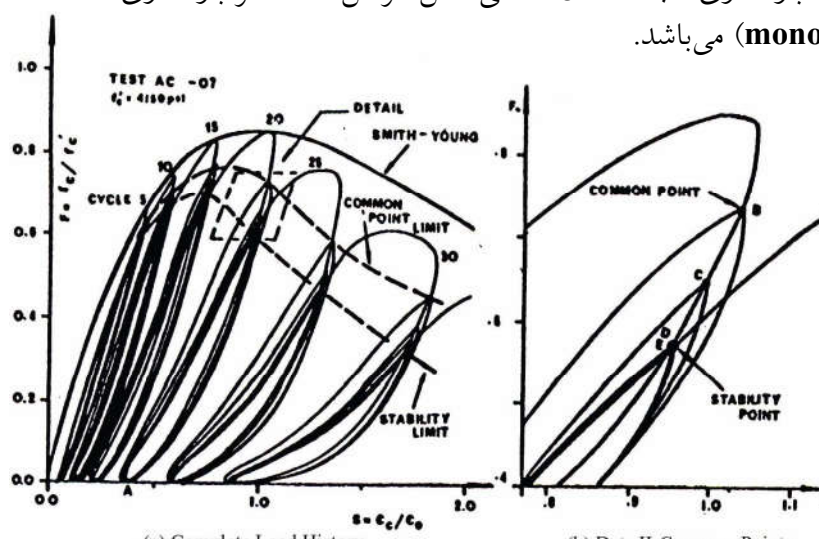
## II. علل ایجاد رفتار غیرخطی

### ( Constitutive Modeling of Materials ) - III

#### Plasticity-Based Model

- مکان هندسی نقطه تلاقی منحنی‌های بارگذاری و باربرداری را نقطه مشترک حدی (Common point limit) می‌نامند.

- در آزمایش بارگذاری تکرار شونده تحت فشار (Repeated loading tests under compression) منحنی پوش بر نقاط شروع باربرداری و نقاط انتهایی چرخه بارگذاری مجدد همان منحنی تنش کرنش تحت اثر بارگذاری افزاینده یکنواخت (monotonically increasing loads) می‌باشد.



- با افزایش تعداد چرخه‌های بارگذاری مکان نقطه مشترک حدی به سمت نقطه‌ای معین به نام حد پایداری (stability limit) همگرا می‌شود.

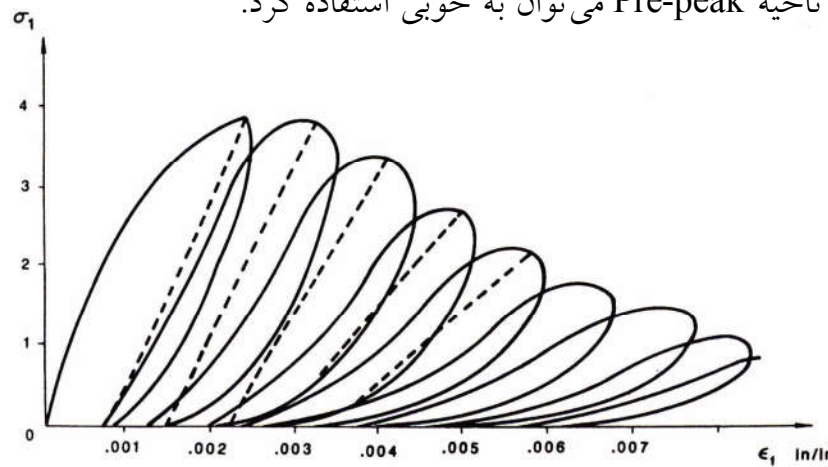
# Introduction to Nonlinear Static Analysis

## II. علل ایجاد رفتار غیرخطی

### ( Constitutive Modeling of Materials ) – مدل سازی مصالح III

#### Plasticity-Based Model

مدل‌های بر اساس پلاستیسیته قادر به توصیف کاهش مدول الاستیسیته (کاهش سختی در حالت باربرداری به دلیل گسترش microcracks) در ناحیه post peak نمی‌باشد. اما از این مدل‌ها برای توصیف رفتار بتن در ناحیه Pre-peak می‌توان به خوبی استفاده کرد.



Stress-strain curve under cyclic uniaxial compressive loading (Sinha et al., 1964)

49

# Introduction to Nonlinear Static Analysis

## II. علل ایجاد رفتار غیرخطی

### ( Constitutive Modeling of Materials ) – مدل سازی مصالح III

#### Plasticity-Based Model

سه فرض بکار گرفته شده در توسعه نئوری پلاستیسیته کلاسیک:

(1) سطح تسلیم اولیه (Initial yield surface)

یکتابع تنش (Stress function) مانند  $f$  وجود دارد که حد الاستیک مواد را تعريف می‌کند. اگر تغییر شکل پلاستیک رخ نداده باشد  $f$  را تابع تسلیم اولیه (Initial yield function) و بعد از شروع تسلیم آن را تابع بارگذاری (Loading function) می‌نامند. این تابع در فضای تنش می‌تواند حالت‌هایی از تنش را که در آن تغییر شکل پلاستیک وجود ندارد ( $f < 0$ ), آغاز تغییر شکل پلاستیک ( $f = 0$ ) و جاری شدن پلاستیک ( $f > 0$ ) تعريف نماید. قبل از تسلیم ( $f < 0$ ) مدل‌های براساس الاستیسیته می‌توانند بیان گر رفتار مصالح باشند.

(2) قانون سخت شوندگی (Hardening rule)

قانون سخت شوندگی تنظیم کننده تکامل سطح بارگذاری پیش رو، در طول مسیر جاری شدن پلاستیک است.

(3) قانون جاری شدن (Flow rule)

قانون جاری شدن رابطه تنش کرنش پلاستیک نموی را با استفاده از یک تابع پتانسیل پلاستیک تعريف می‌کند.

50

# Introduction to Nonlinear Static Analysis

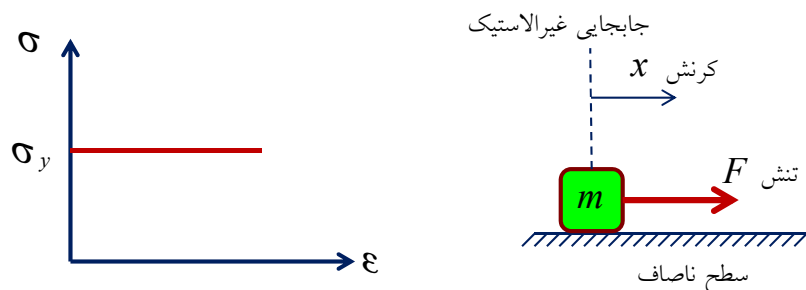
## II. علل ایجاد رفتار غیرخطی

### ( Constitutive Modeling of Materials ) III

#### Plasticity-Based Model

مدل‌های ساده برای شبیه‌سازی رفتار غیرالاستیک

#### 1. صلب-پلاستیک کامل ( Rigid-Perfectly Plastic )



51

# Introduction to Nonlinear Static Analysis

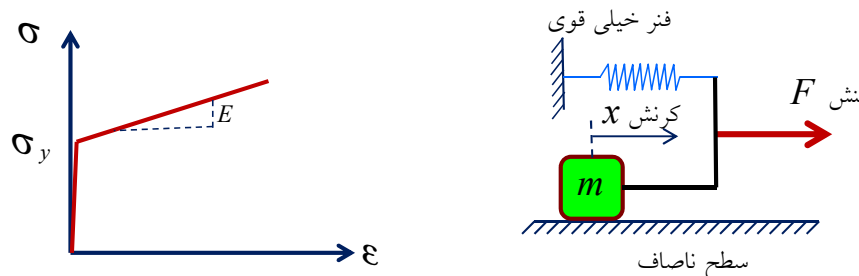
## II. علل ایجاد رفتار غیرخطی

### ( Constitutive Modeling of Materials ) III

#### Plasticity-Based Model

مدل‌های ساده برای شبیه‌سازی رفتار غیرالاستیک

#### 2. صلب-سخت‌شوندگی ( Rigid-Hardening )



52

# Introduction to Nonlinear Static Analysis

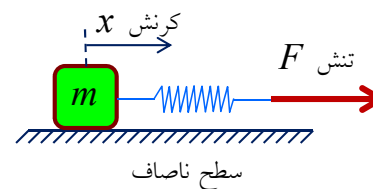
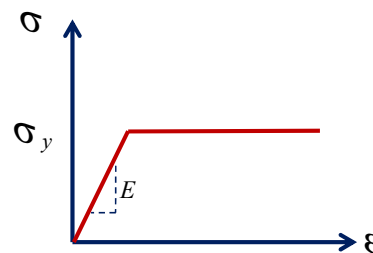
## II. علل ایجاد رفتار غیرخطی

### ( Constitutive Modeling of Materials ) III

#### Plasticity-Based Model

مدل‌های ساده برای شبیه‌سازی رفتار غیرالاستیک

#### 3. الاستیک-پلاستیک کامل ( Elastic-Perfectly Plastic )



53

# Introduction to Nonlinear Static Analysis

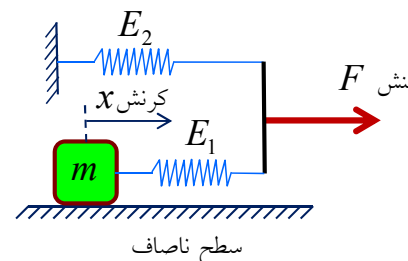
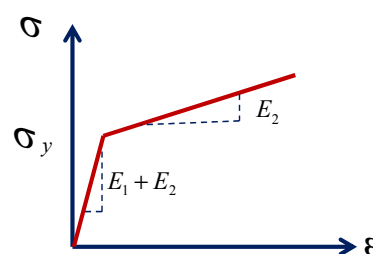
## II. علل ایجاد رفتار غیرخطی

### ( Constitutive Modeling of Materials ) III

#### Plasticity-Based Model

مدل‌های ساده برای شبیه‌سازی رفتار غیرالاستیک

#### 4. الاستیک-سخت‌شوندگی خطی ( Elastic-Linear Hardening )



54

# Introduction to Nonlinear Static Analysis

## II. علل ایجاد رفتار غیرخطی

### ( Constitutive Modeling of Materials ) III

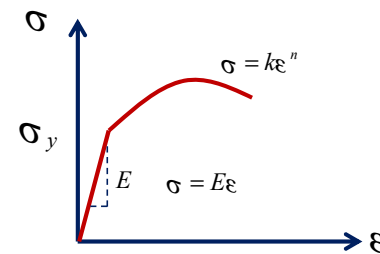
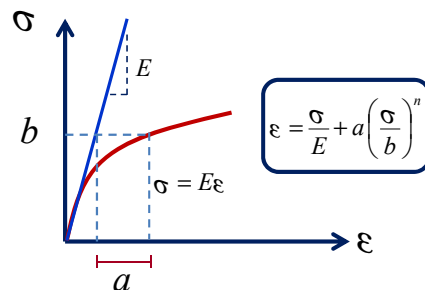
#### Plasticity-Based Model

مدل‌های ساده برای شبیه‌سازی رفتار غیرالاستیک

##### (Ramberg Osgood Model) .6

5. الاستیک- سخت‌شوندگی نمایی

( Elastic-Exponential Hardening)



K و n از نمونه‌های آزمایشگاهی به دست می‌آیند.

55

# Introduction to Nonlinear Static Analysis

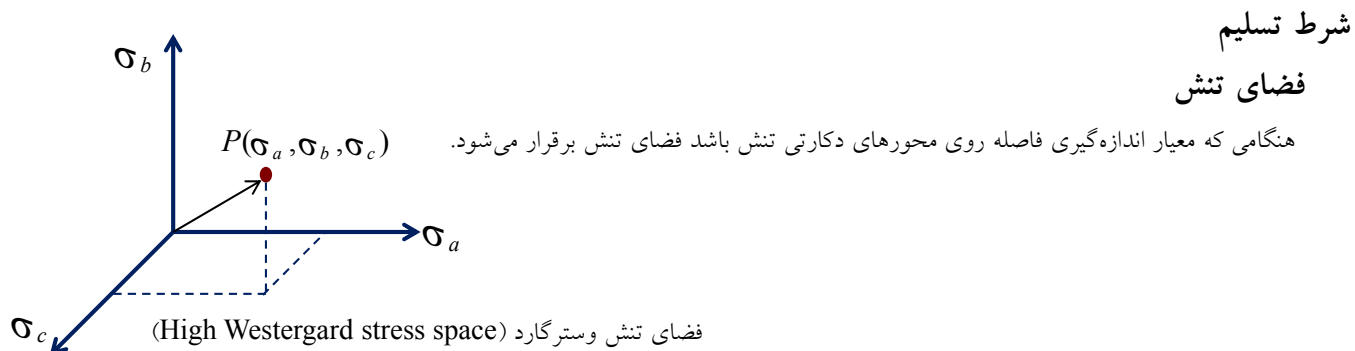
## II. علل ایجاد رفتار غیرخطی

### ( Constitutive Modeling of Materials ) III

ابزار لازم برای بررسی رفتار غیرالاستیک

- شرط تسلیم: استفاده از آزمایش تک محوره (کششی و پیچشی) برای ارائه معیار تسلیم برای حالت تنش چند محوره

- رابطه تنش - کرنش بعد از تسلیم (اولیه)



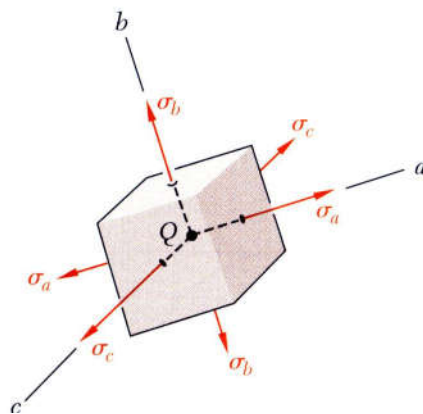
56

# Introduction to Nonlinear Static Analysis

## II. علل ایجاد رفتار غیرخطی

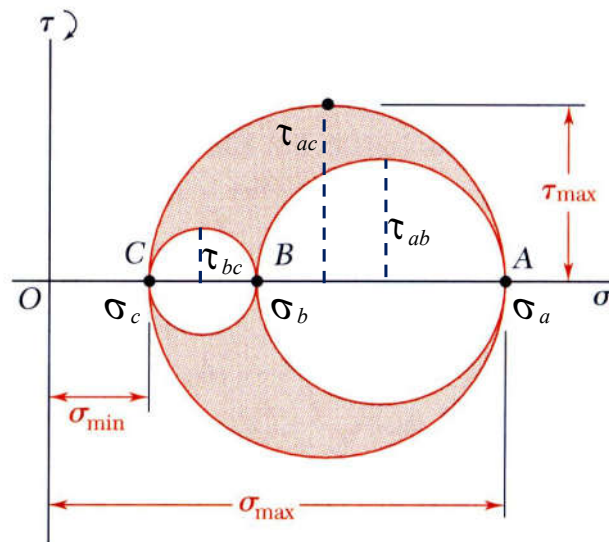
### ( Constitutive Modeling of Materials ) - مدل سازی مصالح III

شرط تسلیم



$$[\sigma_{ij}]: \begin{cases} \text{eignvalues} & \rightarrow \text{مقدار تنش‌های اصلی } (\sigma_a > \sigma_b > \sigma_c) \\ \text{eigenvectors} & \rightarrow \text{جهت‌های اصلی} \end{cases}$$

تمام حالت‌های ممکن تنش در فضای هاشور خورده قرار می‌گیرد.



57

# Introduction to Nonlinear Static Analysis

## II. علل ایجاد رفتار غیرخطی

### ( Constitutive Modeling of Materials ) - مدل سازی مصالح III

شرط تسلیم

$$\begin{bmatrix} \sigma_a & \sigma_{ab} & \sigma_{ac} \\ \sigma_{ba} & \sigma_b & \sigma_{bc} \\ \sigma_{ca} & \sigma_{cb} & \sigma_c \end{bmatrix} = \begin{bmatrix} -q & 0 & 0 \\ 0 & -q & 0 \\ 0 & 0 & -q \end{bmatrix} + \begin{bmatrix} \sigma_a + P & \sigma_{ab} & \sigma_{ac} \\ \sigma_{ba} & \sigma_b + P & \sigma_{bc} \\ \sigma_{ca} & \sigma_{cb} & \sigma_c + P \end{bmatrix}$$

$$q = -\frac{1}{3}(\sigma_a + \sigma_b + \sigma_c)$$

میدان تنش

مولفه هیدروستاتیک

مولفه Deviator

- صفحه عمود بر محور OZ است.

- با محورهای مختصات زاویه مساوی تشکیل می‌دهد.

- نقطه P در فضای قرار دارد (بر روی صفحه نیست).

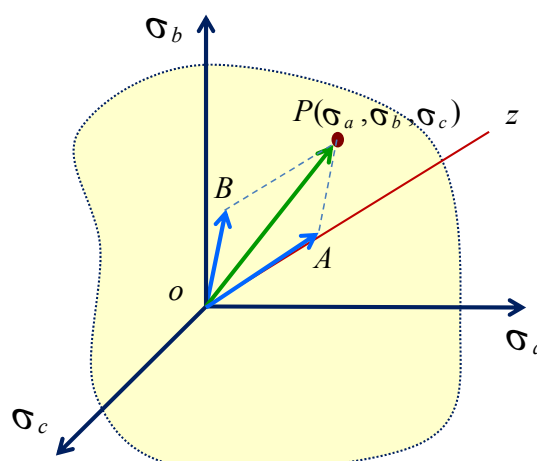
- مولفه هیدروستاتیک است. باعث تغییر حجم می‌شود.

$$@ OA: \sigma_a = \sigma_b = \sigma_c$$

- OB مولفه پرش خالص (Deviator) است. باعث تغییر زاویه و تغییر شکل می‌شود. در صفحه قرار دارد.

- معادله صفحه از رایطه زیر به دست می‌آید که همان معیار تسلیم است

$$\sigma_a + \sigma_b + \sigma_c = 0$$



58

# Introduction to Nonlinear Static Analysis

## II. علل ایجاد رفتار غیرخطی

### ( Constitutive Modeling of Materials ) – مدل سازی مصالح III

رابطه ریاضی شرط تسلیم

شكل روابط شرط تسلیم دو حالت دارد:

$$f(\sigma_{ij}) = C_y \quad (I)$$

: ثابت تسلیم  $C_y$

$$f_1(\sigma_{ij}) = 0 \quad (II)$$

:تابع تسلیم  $f_1$

در مواد ایزوتropیک شرط تسلیم براساس تنsh‌های اصلی و در نظر نگرفتن مولفه‌های هیدرواستاتیک است.  
 فقط مولفه‌های برشی، عامل تغییر شکل، در نظر گرفته می‌شود.

$$\sigma_{ij} = S_{ij} + \delta_{ij}\sigma_{ij}$$

↑                      ↓  
مولفه برش خالص      مولفه  
(Deviator)              هیدرواستاتیک

59

# Introduction to Nonlinear Static Analysis

## II. علل ایجاد رفتار غیرخطی

### ( Constitutive Modeling of Materials ) – مدل سازی مصالح III

رابطه ریاضی شرط تسلیم برای مواد شکل‌پذیر

(Maximum Shearing-Stress Criteria Tresca) (a) معیار تسلیم ترسکا

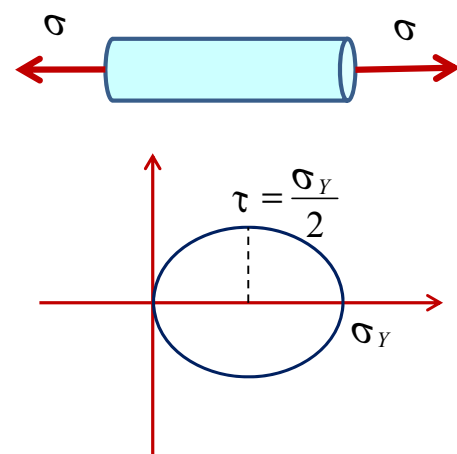
در این معیار علت جاری شدن برش است. منظور برش نظیر ماکریم باری که در بارگذاری استفاده شده است.

For  $\sigma_a$  and  $\sigma_b$  with the same sign

$$\tau_{\max} = \frac{|\sigma_a|}{2} \text{ or } \frac{|\sigma_b|}{2} < \frac{\sigma_Y}{2} \Rightarrow \begin{cases} |\sigma_a| < \sigma_Y \\ |\sigma_b| < \sigma_Y \end{cases}$$

For  $\sigma_a$  and  $\sigma_b$  with opposite signs

$$\tau_{\max} = \frac{|\sigma_a - \sigma_b|}{2} < \frac{\sigma_Y}{2} \Rightarrow |\sigma_a - \sigma_b| < \sigma_Y$$



60

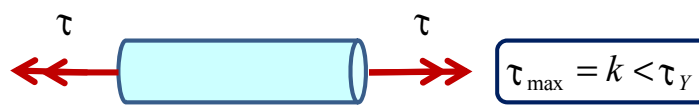
# Introduction to Nonlinear Static Analysis

## II. علل ایجاد رفتار غیرخطی

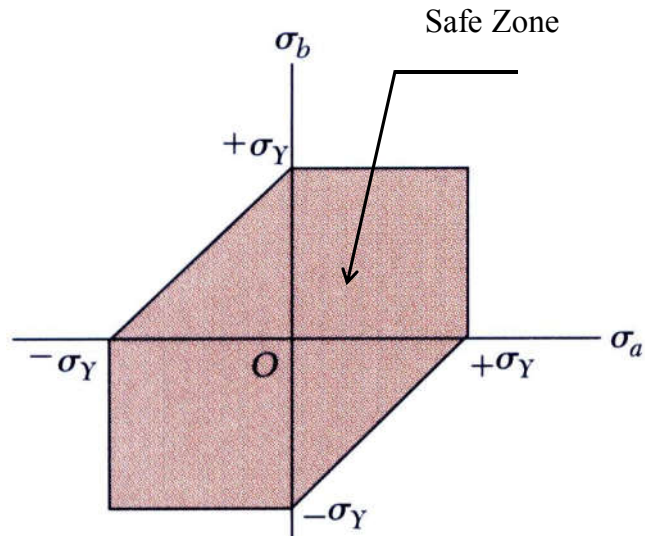
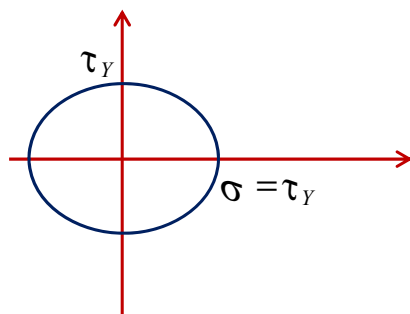
### ( Constitutive Modeling of Materials ) III

رابطه ریاضی شرط تسلیم برای مواد شکل پذیر

#### (a) معیار تسلیم ترسکا (Maximum Shearing-Stress Criteria- Tresca)



$k$ : برش ماکزیمم ناشی از تست پیچشی است.



Tresca's hexagon

(Henri Edouard Tresca 1814-1885)

61

# Introduction to Nonlinear Static Analysis

## II. علل ایجاد رفتار غیرخطی

### ( Constitutive Modeling of Materials ) III

رابطه ریاضی شرط تسلیم برای مواد شکل پذیر

#### (b) معیار ون میسیز (Maximum Distortion Energy Criteria- Von Mises)

این معیار انرژی متناظر با زمان جاری شدن در آزمایش کششی نمونه استاندارد است. به عبارت دیگر مقدار انرژی که صرف تغییر شکل می شود.

مقدار انرژی کرنشی در واحد حجم از رابطه زیر محاسبه می گردد:

$W_0$  : مقدار انرژی کرنشی در واحد حجم

$W_{0V}$  : مقدار انرژی صرف تغییر حجم (Volume)

$W_{0d}$  : مقدار انرژی صرف تغییر شکل (deformation)

همان تعریف کار داخلی است که باید برابر با منفی کار خارجی باشد.

$$W_0 = \frac{1}{2} (\sigma_x \epsilon_x + \sigma_y \epsilon_y + \sigma_z \epsilon_z + \tau_{xy} \gamma_{xy} + \tau_{xz} \gamma_{xz} + \tau_{yz} \gamma_{yz})$$

62

# Introduction to Nonlinear Static Analysis

## II. علل ایجاد رفتار غیرخطی

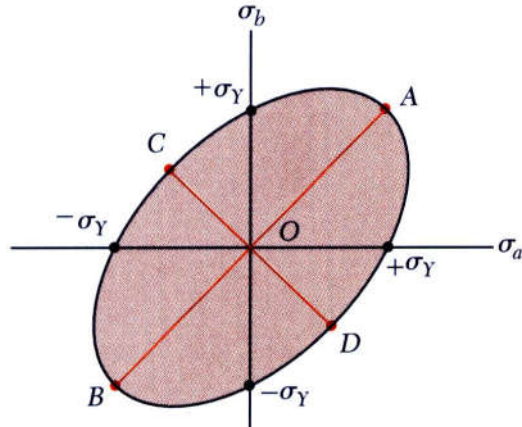
### ( Constitutive Modeling of Materials ) - III

رابطه ریاضی شرط تسلیم برای مواد شکل پذیر

(Von Mises criteria)

(b) معیار ون میسیز (Maximum Distortion Energy Criteria- Von Mises )

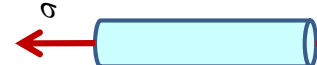
$$(\sigma_a - \sigma_b)^2 + (\sigma_b - \sigma_c)^2 + (\sigma_a - \sigma_c)^2 = 6C$$



Von Mises criteria  
(Richard Von Mises)

$$C = \begin{cases} \frac{1}{3}\sigma_Y^2 & \text{اگر آزمایش کششی باشد} \\ k^2 & \text{اگر آزمایش پیچشی باشد} \end{cases}$$

ک: برش ماقریم ناشی از تست پیچشی است.



در حالت کشش تک محوره

$$\sigma_a^2 - \sigma_a \sigma_b + \sigma_b^2 < \sigma_Y^2$$

$$A = \begin{cases} \sigma_a = \sigma_Y \\ \sigma_b = \sigma_Y \end{cases} \quad \& \quad B = \begin{cases} \sigma_a = -\sigma_Y \\ \sigma_b = -\sigma_Y \end{cases}$$

$$C = \begin{cases} \sigma_a = -0.577\sigma_Y \\ \sigma_b = 0.577\sigma_Y \end{cases} \quad \& \quad C = \begin{cases} \sigma_a = 0.577\sigma_Y \\ \sigma_b = -0.577\sigma_Y \end{cases}$$

63

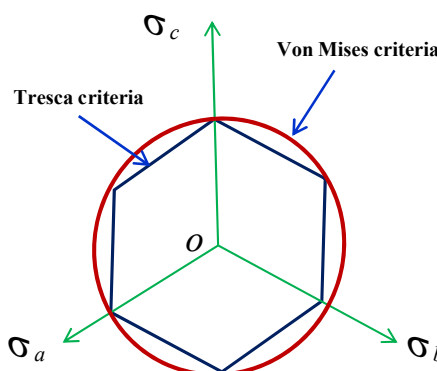
# Introduction to Nonlinear Static Analysis

## II. علل ایجاد رفتار غیرخطی

### ( Constitutive Modeling of Materials ) - III

رابطه ریاضی شرط تسلیم برای مواد شکل پذیر

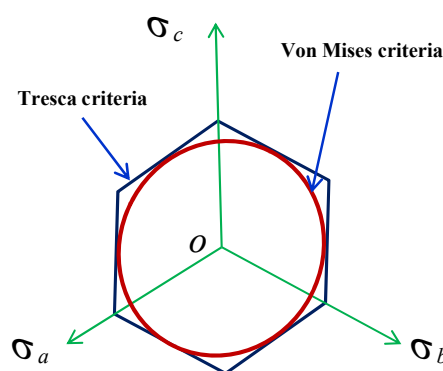
(b) معیار ون میسیز (Maximum Distortion Energy Criteria- Von Mises )



از دید OZ عمود بر صفحه نگاه می کنیم.

$$R = \sqrt{\frac{2}{3}}\sigma_Y$$

اگر آزمایش کششی باشد



از دید OZ عمود بر صفحه نگاه می کنیم.

$$R = \sqrt{2}k$$

اگر آزمایش پیچشی باشد

64

# Introduction to Nonlinear Static Analysis

## II. علل ایجاد رفتار غیرخطی

### ( Constitutive Modeling of Materials ) III

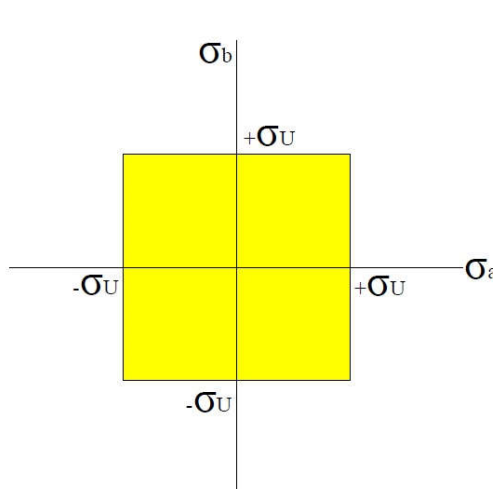
رابطه ریاضی شرط تسلیم برای مواد شکننده (ترد)

مصالح ترد یا شکننده در آزمایش کششی گسیخته یا خورد می‌شود. شرایط گسختگی با مقاومت نهایی مشخص می‌گردد.

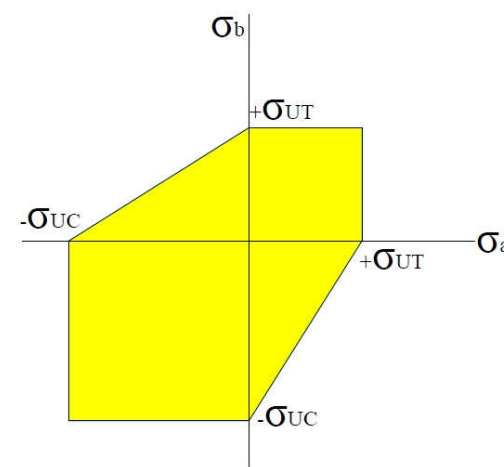
(a) معیار تنش نرمال ماکزیمم - معیار کلومب

(b) معیار تنش نرمال ماکزیمم - معیار موهر

(Maximum Normal Stress Criterion-Coulomb's Criterion)



(Maximum Normal Stress Criterion-Mohr's Criterion)



$\sigma_{UT}$  : Ultimate strength in tension

$\sigma_{UC}$  : Ultimate strength in compression

$\sigma_U$  : Ultimate strength in tension and compression

## Introduction to Nonlinear Static Analysis

## II. علل ایجاد رفتار غیرخطی

### ( Constitutive Modeling of Materials ) III

شرایط بعد از تسلیم

برای نمایش اثرات سخت‌شوندگی در توابع تسلیم باید مدل‌های تسلیم اصلاح گردد.

تابع تسلیم  $f_1(\sigma_{ij}) = 0$

تابع تسلیم  $f_1 = 0 \Rightarrow$  تسلیم

تابع تسلیم در حالت کلی  $f_1(\sigma_{ij}, \epsilon_{ij}^P, k) = 0$

$f_1 < 0 \Rightarrow$  الاستیک

: وابسطه به خصوصیات سخت‌شوندگی  $k$

$f_1 > 0 \Rightarrow$  خارج از سطح تسلیم (تعریف نشده)

$\epsilon_{ij}^P$  : کرنش پلاستیک

یعنی معادلات تسلیم در زیر منحنی و روی خود منحنی صدق می‌کند. فراتر از سطح تسلیم دیگر تعریف شده نیست باید اصلاح شود.

$$f_1 = 0 \Rightarrow \left( \frac{\partial f_1}{\partial \sigma_{ij}} \right) \cdot d\sigma_{ij} < 0 \Rightarrow \text{الاستیک باربرداری}$$

$$f_1 = 0 \Rightarrow \left( \frac{\partial f_1}{\partial \sigma_{ij}} \right) \cdot d\sigma_{ij} > 0 \Rightarrow \text{الاستیک و غیر الاستیک بارگذاری}$$

# Introduction to Nonlinear Static Analysis

## II. علل ایجاد رفتار غیرخطی

### ( Constitutive Modeling of Materials ) III

شرایط بعد از تسلیم

Isotropic Hardening



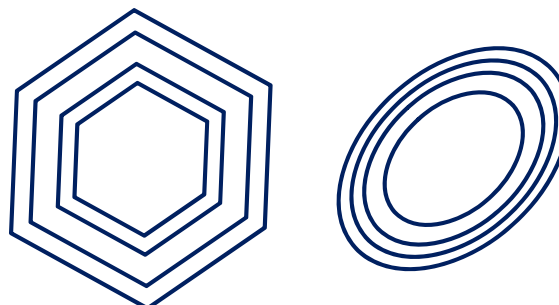
قانون سخت شوندگی

Kinematic Hardening



#### Isotropic Hardening

سطوح تسلیم (معیار تسلیم) بزرگ می شود (افزایش پیدا می کند)



67

# Introduction to Nonlinear Static Analysis

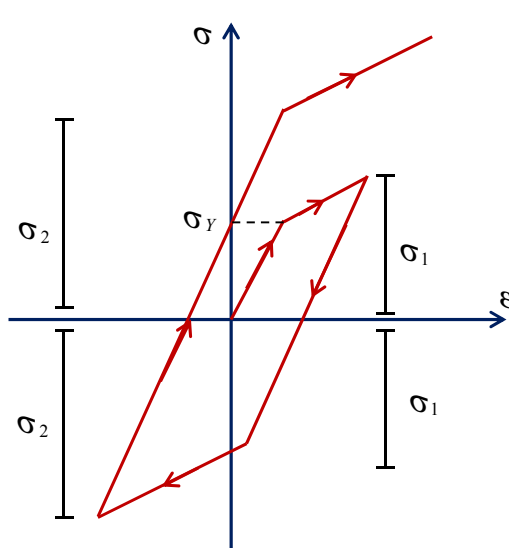
## II. علل ایجاد رفتار غیرخطی

### ( Constitutive Modeling of Materials ) III

شرایط بعد از تسلیم

#### Isotropic Hardening

به طور مثال مصالحی داریم که مقاومت فشاری و کششی آن  $\sigma_y$  باشد.



$$\sigma_{ij} = (\sigma_{ij}^2 - g_{ij}^2)^{1/2}$$

: تابع رشد (Growth Function) : تنفس کم شده سطح تسلیم  $g_{ij}$  افزایش می یابد. به عبارت دیگر بار را کم کرده مقاومت را زیاد می کنیم.

تسلييم در مرحله اول  $\sigma_y$

تسلييم در مرحله دوم  $\sigma_1$

تسلييم در مرحله سوم  $\sigma_2$

68

# Introduction to Nonlinear Static Analysis

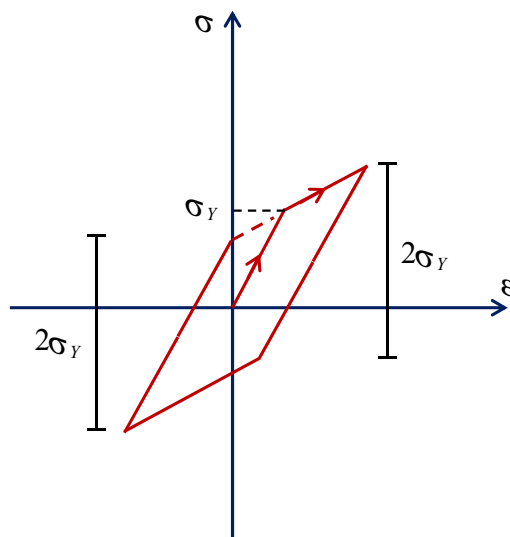
## II. علل ایجاد رفتار غیرخطی

### ( Constitutive Modeling of Materials ) III

شرایط بعد از تسیلیم

#### Kinematic Hardening

سطح تسیلیم ثابت می‌ماند اما محل آن در فضای تنش تغییر می‌کند.



$$f_1(\sigma_{ij}, \alpha_{ij}) = (\sigma_{ij} - \alpha_{ij})^2 - \sigma_Y^2$$

مختصات نقطه جدید

$$\alpha_{ij} = C \epsilon_{ij}^p$$

69

# Introduction to Nonlinear Static Analysis

## II. علل ایجاد رفتار غیرخطی

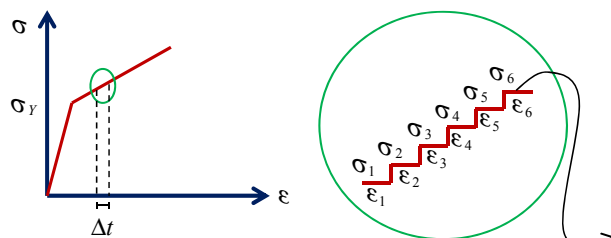
### ( Constitutive Modeling of Materials ) III

EL-PL

روابط تنش کرنش برای مدل‌های

Rig-PL

(1870) St.Venant محاورهای تنش و کرنش پله‌ای بر هم منطبق هستند.



In this step

$$\begin{cases} \sigma = \sum \sigma_i \\ \epsilon = \epsilon_6 \end{cases}$$

همان کرنش مرحله ششم

70

# Introduction to Nonlinear Static Analysis

## II. علل ایجاد رفتار غیرخطی

### ( Constitutive Modeling of Materials ) III – مدل سازی مصالح

**EL-PL**

**Rig-PL**

روابط تنش کرنش برای مدل‌های

(1871) Levy

(1913) Von-Mises

رابطه Levy-Mise: رابطه بین کرنش پله‌ای و تنش تقلیل یافته (همان deviator است) تغییرات کرنش برابر با تغییرات کرنش پلاستیک در هر لحظه می‌باشد که متناظر با مولفه deviator تنش است.

فرضیات: ۱) دایره مور تنش و کرنش پله‌ای بر هم منطبق می‌باشند

$d\varepsilon_{ij}$ : منظور کرنش پله‌ای است نه مشتق

$S_{ij}$ : همان deviator است

$d\lambda$ : مقدار ثابت مثبت برای هر پله

$$d\varepsilon_{ij} = d\varepsilon_{ij}^P = S_{ij} d\lambda$$

For example:

$$d\varepsilon_x = \frac{2}{3} d\lambda [\sigma_x - \frac{1}{2}(\sigma_y + \sigma_z)]$$

⋮

$$d\gamma_{xy} = d\lambda \cdot \tau_{xy}$$

⋮

71

# Introduction to Nonlinear Static Analysis

## II. علل ایجاد رفتار غیرخطی

### ( Constitutive Modeling of Materials ) III – مدل سازی مصالح

**EL-PL**

**Rig-PL**

روابط تنش کرنش برای مدل‌های

. این روش برای مسائل کرنش مسطح پیشنهاد شد.

(1930) Reuss روش را کامل کرد.

فرضیات: ۲) تغییرات کرنش پلاستیک در هر لحظه متناظر با مولفه deviator تنش است.

$$d\varepsilon_{ij}^P = S_{ij} d\lambda$$

$d\varepsilon_{ij}$ : منظور کرنش پله‌ای است نه مشتق

$S_{ij}$ : همان deviator است

$d\lambda$ : مقدار ثابت مثبت برای هر پله

$\delta_{ij}$ : هیدرостиاتیک

For example:

$$d\varepsilon_x = d\varepsilon_x^P + d\varepsilon_x^e = \frac{2}{3} d\lambda [\sigma_x - \frac{1}{2}(\sigma_y + \sigma_z)] + \frac{1}{E} [d\sigma_x - v(d\sigma_y + d\sigma_z)]$$

$$d\gamma_{xy} = d\gamma_{xy}^P + d\gamma_{xy}^e = d\lambda \cdot \tau_{xy} + \frac{d\tau_{xy}}{2G}$$

72

# Introduction to Nonlinear Static Analysis

## II. علل ایجاد رفتار غیرخطی

### ( Constitutive Modeling of Materials ) III - مدل سازی مصالح

EL-PL

Rig-PL

روابط تنش کرنش برای مدل‌های

کرنش‌های پلاستیک در هر پله تغییر حجم پیدا نمی‌کنند.

شرایط عدم تراکم‌پذیری (Incompressibility)

$$d\varepsilon_x^P + d\varepsilon_y^P + d\varepsilon_z^P = 0$$

$$d\varepsilon_{ij}^P = 0$$

کرنش‌های پلاستیک در هر پله تغییر حجم پیدا نمی‌کنند.

شرایط عدم تراکم‌پذیری (Incompressibility)

73

# Introduction to Nonlinear Static Analysis

## II. علل ایجاد رفتار غیرخطی ( Materials ) b) مواد و مصالح

### ت - خصوصیات فیزیکی و مکانیکی مواد

انواع مواد بکارگرفته شده در مهندسی عمران: بتن - فولاد - چوب - مصالح بنایی

خرش: در حد بهره‌برداری انجام می‌شود. در اثر فشار تغییرشکل‌ها افزایش می‌یابد. و در حد بار نهایی کاهش

مقاومت روی می‌دهد.

افت (Shrinkage): خروج آب از بتن باعث انقباض و جمع شدگی می‌شود.

مدول الاستیسیته: در کشش و فشار متفاوت است.

پیوستگی آرماتور و بتن

محصور شدگی

کاهش سختی

مدل کردن ترک (بحث Fracture Mechanics مطرح می‌شود)

ترک باز و بسته شدن ترک (رشد ترک)

تشهای پسماند

Relaxation (شبیه خرس در بتن است): ناشی از تغییرشکل زیر تنشهای ثابت.

حرارت

اثر بوشینگر (Bauschinger effect): کاهش تنش تسلیم فولاد بعد از بارگذاری‌های متناوب

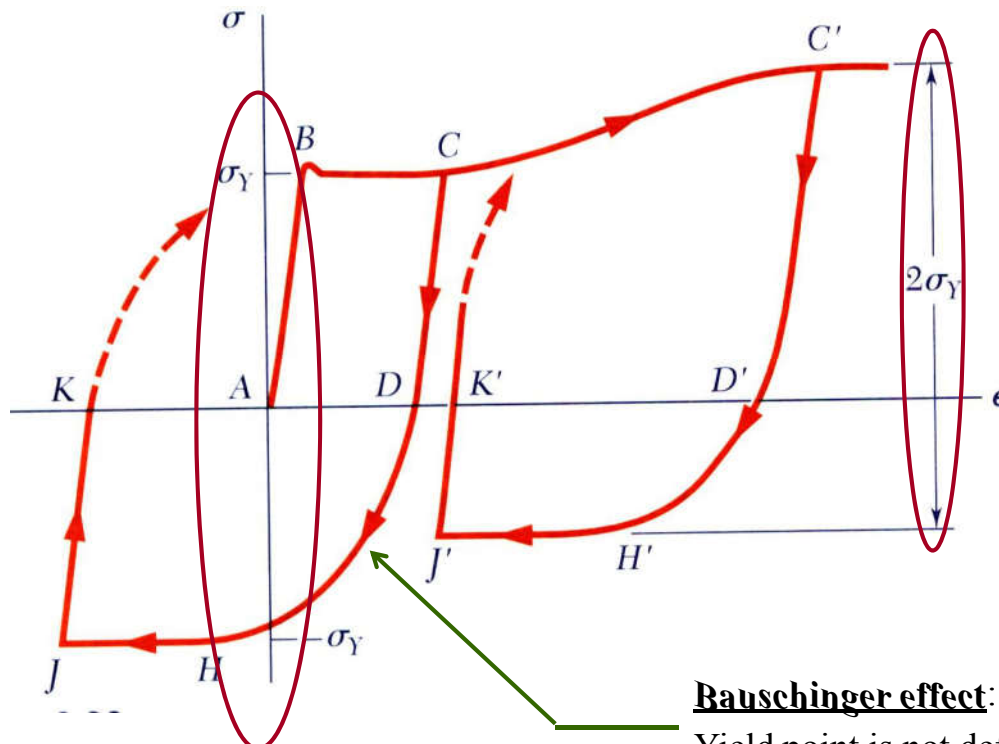
74

# Introduction to Nonlinear Static Analysis

## II. علل ایجاد رفتار غیرخطی

### ( Materials ) ( b ) مواد و مصالح

ت - خصوصیات فیزیکی و مکانیکی مواد



75

# Introduction to Nonlinear Static Analysis

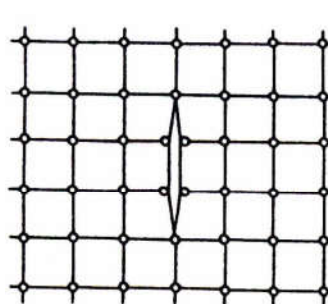
## II. علل ایجاد رفتار غیرخطی

ت - خصوصیات فیزیکی و مکانیکی مواد

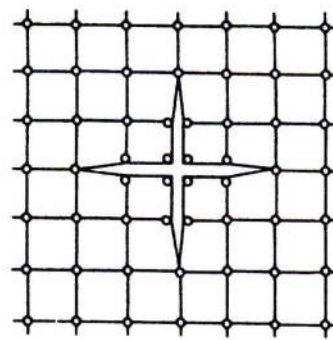
انواع ترک‌ها در بتن

### ( The Discrete Cracking Model ) ( ۱ ) مدل ترک مجزا

این مدل براساس مفهوم عدم پیوستگی جابجایی در طول ترک آن است که هندسه سازه تغییر می‌کند. یعنی با ایجاد هر ترک هندسه مدل عوض می‌شود. ABAQUS این مشکل را مرتفع نموده است. در این نوع مدل اثرات قفل و بست دانه‌ای و باز و بسته شدن ترک‌ها را می‌توان با تعیین فنرهایی عمود بر راستای ترک در نظر گرفت.

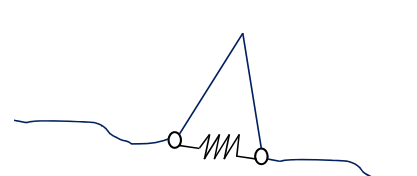


(a)



(b)

Nodal separating using two or four coincident nodes:  
(a) one-directional and (b) two-directional cracking



76

# Introduction to Nonlinear Static Analysis

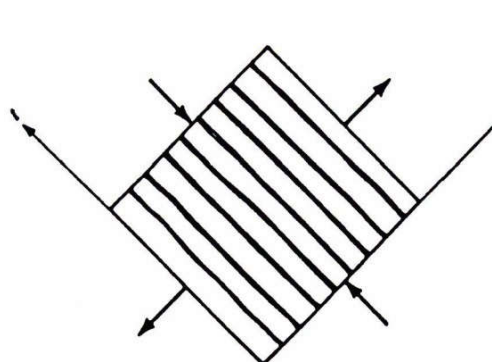
## II. علل ایجاد رفتار غیرخطی

### ت- خصوصیات فیزیکی و مکانیکی مواد

#### انواع ترک‌ها در بتن

##### ( The Smeared Cracking Model )

براساس این مدل، بتن ترک خورده با استفاده از خواص مصالح ارتوتروپیک و به کمک تعداد نامحدودی ریز ترک موازی در سطح المان به صورت پخش شده مدل می‌گردد. بعد از ایجاد ترک در بتن رابطه ماتریس مشخصه به صورت زیر می‌باشد:



$$\begin{Bmatrix} d\sigma_1 \\ d\sigma_2 \\ d\tau_{12} \end{Bmatrix} = \begin{bmatrix} E_1 & 0 & 0 \\ 0 & E_2 & 0 \\ 0 & 0 & \beta G \end{bmatrix} \begin{Bmatrix} d\varepsilon_1 \\ d\varepsilon_2 \\ d\gamma_{12} \end{Bmatrix}$$

که در آن  $E_1 = 0$  و  $E_2$  سختی مماسی به ترتیب عمود و موازی با ترک است. بعد از آن که ترک دوم عمود بر راستای ترک اول اتفاق افتد  $E_2$  به سمت صفر میل می‌کند.  $\beta < 1$  نقش فنرها را در مدل قفل و بست دانه‌ای بازی کرده و ضریب کاهنده مدول برنشی است.

Idealization of a single crack

77

# Introduction to Nonlinear Static Analysis

## II. علل ایجاد رفتار غیرخطی

### ت- خصوصیات فیزیکی و مکانیکی مواد

#### انواع ترک‌ها در بتن

##### ( The Smeared Cracking Model )

#### انواع مدل ترک

##### (a) مدل ترک ثابت ( Fixed crack models )

##### (b) مدل ترک چرخشی ( Rotating crack models )

##### (c) مدل ترک چندتایی و غیرعمود برهم ( Multiple non-orthogonal crack models )

در مدل ترک ثابت، زمانی که یک ترک شکل می‌گیرد، جهت‌های اصلی اجازه دوران نداشته و ترک دوم تنها زمانی اتفاق می‌افتد که تشش عمود بر ترک اولی از تنش نهایی کششی بتن تجاوز کند. این مدل برای اعضایی که در یک راستا آرماتور دارند (تیر) و یا در دو راستای عمود بر هم آرماتور یکسان دارند (دال) مناسب است.

در مدل ترک چرخشی، مشکل مدل ترک ثابت با امکان چرخش جهت‌های اصلی بعد از ایجاد یک یا دو ترک مرتفع شد. جهت ترک‌ها در هر مرحله از بارگذاری عمود بر کرنش‌های اصلی در نظر گرفته می‌شود.

مدل ترک چندتایی و غیرعمود برهم توانایی مدل کردن چندین ترک غیرعمود برهم را در یک نقطه دارا می‌باشد. این مدل آنچنان مورد توجه قرار نگرفت.

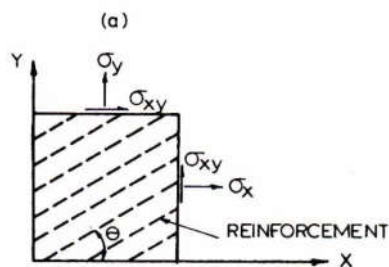
78

# Introduction to Nonlinear Static Analysis

## II. علل ایجاد رفتار غیرخطی

### ت- خصوصیات فیزیکی و مکانیکی مواد

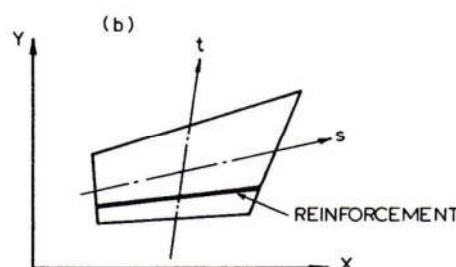
شیوه‌های مختلف مدل‌سازی آرماتور در مدل‌های المان محدود:



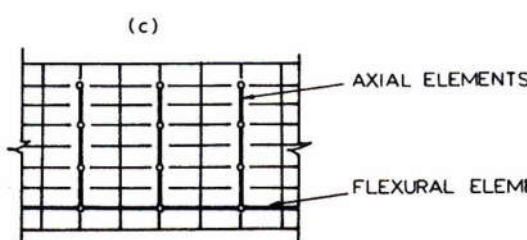
(1) مدل توزیع یافته یا پخش شده ( Distributed or Smeared model)

(2) مدل خواییده ( Embedded model)

(3) مدل مجزا ( Discrete model)



در مدل توزیع یافته فولاد به صورت یک صفحه گستردۀ، با فرض پیوستگی کامل بین فولاد و بتن، بر روی کل المان بتن پخش می‌شود.



در مدل خواییده فولاد به صورت یک المان تک محوری در بتن مدل شده به طوری که جابجایی‌های گرهای آن مقید به المان بتن می‌باشد.

مدل مجزا مشابه با مدل خواییده است با این تفاوت که جابجایی‌های گرهای میله فولادی به طور کامل مقید به المان بتن می‌باشد.

Typical steel representations in finite element models of concrete structures,

(a) distributed (b) embedded, and (c) discrete (ASCE, 1982)

79

# Introduction to Nonlinear Static Analysis

## II. علل ایجاد رفتار غیرخطی (b) مواد و مصالح ( Materials )

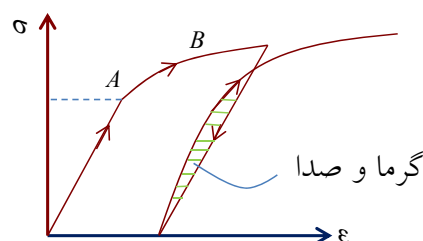
### ث- بارگذاری

- بارهای دینامیکی رفت و برگشتی (بیشتر مبحث دینامیک غیرخطی را شامل می‌شود)
- بارهای تقلیل نامتقارن.

خستگی زیر اثر بارهای تکراری (مانند سازه‌های ساحلی و فراساحلی که تحت اثر موج قرار می‌گیرند)

### بارهای دینامیکی

بارگذاری- باربرداری: در این حالت جهت بار عوض نمی‌شود.



به دلیل سخت‌شدگی  $\sigma_A > \sigma_B$  است.

80

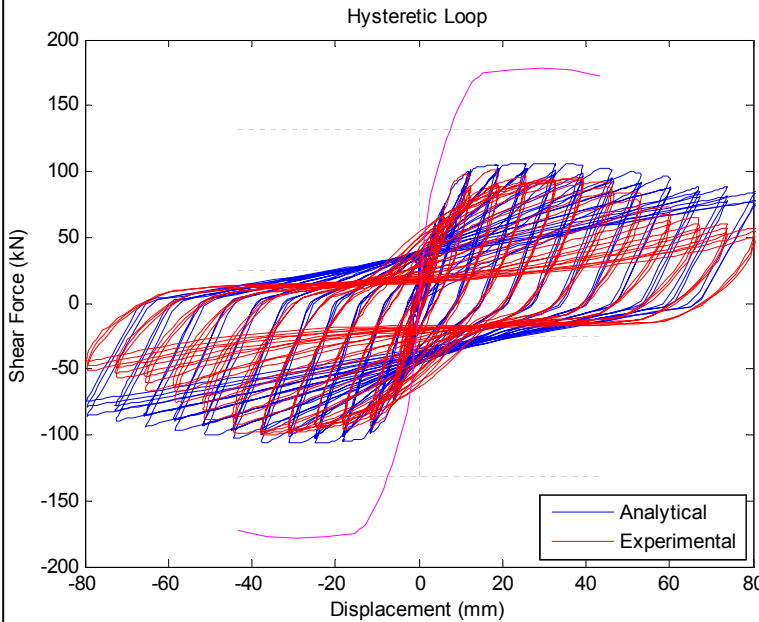
# Introduction to Nonlinear Static Analysis

## II. علل ایجاد رفتار غیرخطی

### ث- بارگذاری

#### بارهای دینامیکی

بارهای رفت و برگشتی: در این حالت جهت بار عوض می‌شود. در بارگذاری‌های مجدد و تکراری سختی کاهش می‌یابد.



- نمودار نیرو جابجایی در بارگذاری رفت و برگشتی را منحنی هیسترسیس می‌نامند.
- مساحت محصور شده در منحنی هیسترسیس معرف ظرفیت جذب انرژی جهت استهلاک است.
- این منحنی‌ها نشان دهنده سختی و زمان جاری شدن است.
- عوامل موثر بر این منحنی‌ها: سیستم سازه‌ای، مواد تشکیل دهنده، نوع اتصالات (Configuration) و اثر میرایی است.
- معمولاً در عمل به دلیل اثر پینچینگ (Pinching) نتایج آزمایشگاهی با تئوری قدری متفاوت است؛ و آن به دلیل ایجاد ترک در جوش، لغزش در اتصالات اصطکاکی پیچ‌ها، باز و بسته شدن ترک در بتن و عدم پیوستگی کامل بین آرماتور و بتن می‌باشد.

81

# Introduction to Nonlinear Static Analysis

## III. نیاز به در نظر گرفتن رفتار غیرخطی

ایمنی:

□ تعادل

□ پایداری: واژگونی و لغزش

در موضوعات زیر انجام آنالیز غیرخطی ضرورت دارد:

- در بادپنهای واگرا عملکرد بادپند زمانی شروع می‌شود که تیر رابط یا فیوز (Link Beam) جاری شود. پس آنالیز خطی عملکرد را نشان نمی‌دهد.
- Riftar کابل‌ها تنها با آنالیز غیرخطی بررسی می‌شود.
- تعیین ضریب Riftar باید با استفاده از آنالیز غیرخطی صورت گیرد.
- در نظر گرفتن اثرات بازتوزیع بار زمانی که یک عضو به ظرفیت نهایی خود برسد.
- تعیین دقیق ضرایب اطمینان
- بحث مقاوم سازی
- تعیین کشش زیر شالوده
- کنترل سازه‌ها: جدايشگرها، میراگرها، تجهیزات کنترلی با سختی متغیر

82

# Introduction to Nonlinear Static Analysis

## IV. چگونگی منظور نمودن اثرات غیرخطی

روش‌های در نظر گرفتن اثرات غیرخطی:

□ مطالعات آزمایشگاهی

□ مدل‌های تحلیلی

معایب مدل‌های آزمایشگاهی: هزینه، زمان، امکانات و مسائل فنی

یکی دیگر از مشکلات این روش آن است که باید با مقیاس نمونه‌ها را کوچک کرد. نمونه‌های کوچک‌تر بحث‌های زیادی در پی خواهند داشت.

معایب مدل‌های تحلیلی: نیاز به خصوصیات فیزیکی مواد که بستگی به تجربه و توانایی ما در درک رفتار مواد دارد. یعنی بر اساس تجربه می‌توان از نتایج مطالعات آزمایشگاهی استفاده کرد یا باید با توجه به تجربه خصوصیات فیزیکی را حدس زد.

ملزومات مدل‌های تحلیلی:

- کالیبراسیون (Calibration): تعیین پارامترهای یک مدل براساس یک آزمایش (بازی کردن با پارامترها بر مبنای نتایج آزمایشگاهی)
- تائید (Verification): به کار گرفتن پارامترهای کالیبره شده در یک مدل آزمایشی مستقل

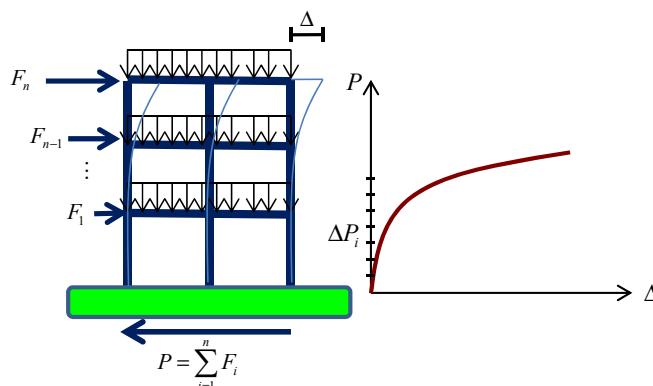
83

# Introduction to Nonlinear Static Analysis

## IV. چگونگی منظور نمودن اثرات غیرخطی

انواع روش‌ها بر اساس مدل‌های تحلیلی:

- روش‌های تقریبی: مانند ضرایب تشدید در محاسبه لنگر ستون‌ها برای در نظر گرفتن اثرات  $P \cdot \Delta$
- روش‌های دقیق یا روش‌های با جزئیات بیشتر



روش سختی: در این روش، تحلیل از نوع پله‌ای (Incremental) است. در هر پله فرض بر این است که تغییرشکل‌ها کوچک و رفتار خطی است.

$$\{P\} = [K] \{x\} \quad \text{وابط تعادل}$$

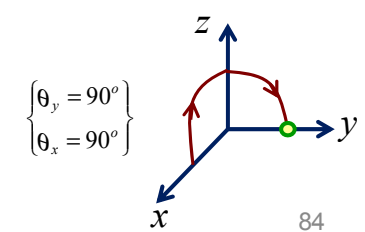
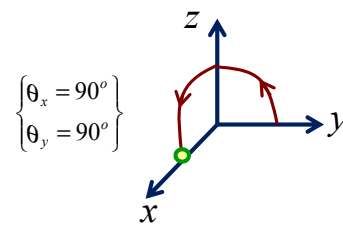
(a) روش سختی

(b) روش نرمی

: جابجایی و دوران  $\{x\}$

در فضای سه بعدی دوران‌های بزرگ از خاصیت برداری تبعیت نمی‌کنند.

(ترتیب چیدمان مولفه‌ها دو نقطه متفاوت نتیجه می‌دهد  
بنابراین ترتیب دوران‌ها مهم است.)



84

# Introduction to Nonlinear Static Analysis

## IV. چگونگی منظور نمودن اثرات غیرخطی

روش سختی:

$$\{\Delta P\} = [\tau] \{\Delta x\}$$

[۲]: ماتریس سختی مماسی (Tangent stiffness matrix) که شیب منحنی در هر پله می‌باشد.

در ماتریس سختی مماسی  $[\tau]$  می‌توان اثرات زیر را دید:

- هندسه
- اندرکش: مثلاً وقتی اثر تغییر خم شد می‌توان از اثر  $P \cdot \Delta$  صرف نظر کرد.
- مواد
- قیود: از حرکت سازه به صورت جسم صلب جلوگیری می‌کند (مانند واژگونی و لغزش)
- اثر سازگاری در Assemble کردن  $[\tau]$  باید لحاظ گردد.

معایب روش پله‌ای: هندسه – مواد

85

# Introduction to Nonlinear Static Analysis

## IV. چگونگی منظور نمودن اثرات غیرخطی

روش سختی:

الگوریتم کلی (مراحل تحلیل روش پله‌ای):

(1) تشکیل ماتریس سختی مماسی سیستم  $[\tau]_{System}$  که با Assemble کردن ماتریس سختی مماسی هر جزء  $[\tau]_{Member}$  به دست می‌آید. برای انجام این کار را با تعیین شیب خط پله‌ای، ماتریس سختی مماسی تخمین زده می‌شود.

(2) اعمال  $\Delta P$

$$\{\Delta P\} = [\tau] \{\Delta x\}$$

با استفاده از  $\{\Delta x\}$   $\Leftarrow$  تعیین تغییر شکل‌ها  $\Leftarrow$  تعیین کرنش‌ها  $\Leftarrow$  تعیین تنش‌ها  $\Leftarrow$  تعیین نیروهای داخلی

(4) کنترل تعادل: خواندن تغییرشکل‌ها از دستگاه مختصات محلی و تبدیل به دستگاه مختصات کلی و بررسی تعادل

جابجایی‌های پله‌ها را می‌توان با هم جمع کرد و جابجایی کل را به دست آورد. اما دوران پله‌ها را نمی‌توان جمع کرد و دوران کل را به دست آورد. (همان بحث دوران‌های بزرگ در فضای سه بعدی خاصیت برداری ندارند).

86

# Introduction to Nonlinear Static Analysis

## IV. چگونگی منظور نمودن اثرات غیرخطی

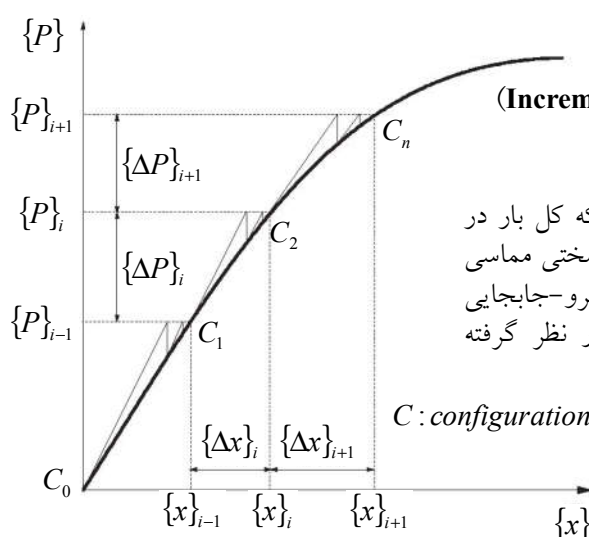
روش سختی:

برای حل مسائل غیرخطی به کمک روش المان محدود سه روش اصلی وجود دارد:

I. روش پله‌ای یا افزایشی (Incremental or Stepwise procedures)

II. روش تکراری یا نیوتونی (Iterative or Newtonian methods)

III. روش تکراری-افزایشی (Incremental-Iterative or Mixed procedures)



روش تکراری-افزایشی: در این روش چندین پله در نظر گرفته می‌شود که کل بار در این پله‌ها تقسیم می‌گردد. در روش‌های تکراری در هر پله چندین دفعه ماتریس سختی مماسی محاسبه می‌شود تا به جواب مورد نظر رسید. برای انجام این کار معیار همگرایی نیرو-جایجاوی و همچنین ماکزیمم تعداد تکرارهای مجاز برای رسیدن به جواب مطلوب در نظر گرفته می‌شود.

روش اول: شیب خط اول و شیب خط‌های بعدی یکسان است.

روش دوم: شیب خط دوم با شیب خط اول متفاوت است.

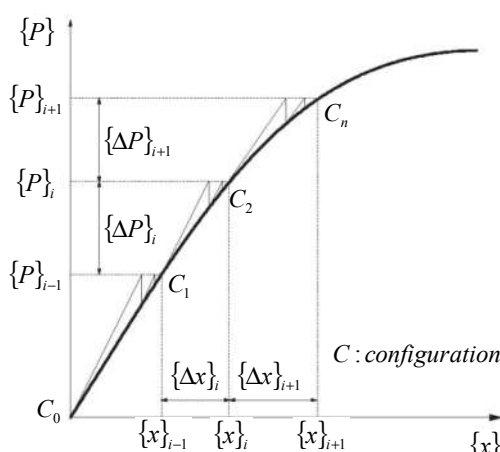
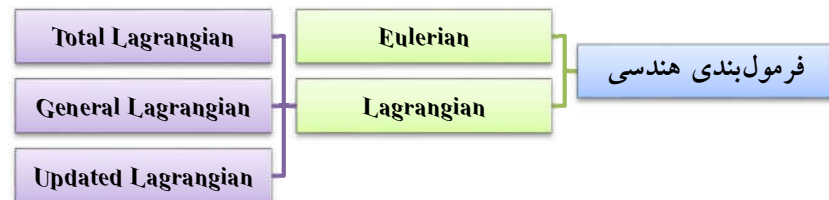
A Schematic Representation of the Incremental-Iterative Tangent Stiffness Method

87

# Introduction to Nonlinear Static Analysis

## IV. چگونگی منظور نمودن اثرات غیرخطی

فرمول‌بندی هندسی:



: دستگاه مختصات محلی در وضعیتی که بارگذاری نشده است.

: دستگاه مختصات محلی در وضعیت آخرین اعمال  $\Delta P$  تا آن مرحله (n)

: دستگاه مختصات محلی در وضعیت بعد از اعمال  $\Delta P$

دستگاه مختصات کلی (Global Coordinate) ثابت است و حرکت ندارد.

در ابتدا هندسه مدل در دستگاه مختصات کلی تعریف می‌شود.

A Schematic Representation of the Incremental-Iterative Tangent Stiffness Method

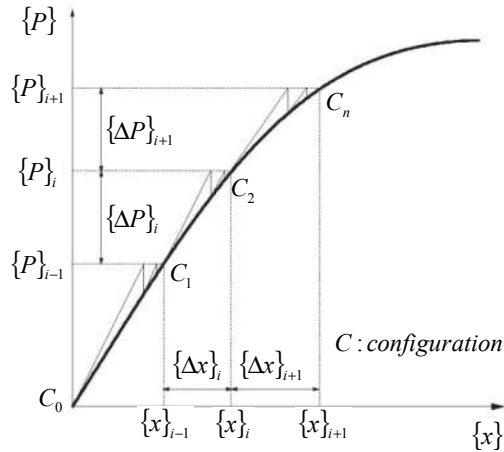
88

# Introduction to Nonlinear Static Analysis

## IV. چگونگی منظور نمودن اثرات غیرخطی

فرمول‌بندی هندسی:

Eulerian: یک دستگاه مختصات دارد که به عضو چسبیده و با آن حرکت می‌کند. بیشتر در مکانیک سیالات کاربرد دارد به طوری که تغییر شکل‌ها را در یک حجم کنترل شده محاسبه می‌کند.



A Schematic Representation of the Incremental-Iterative Tangent Stiffness Method

Total Lagrangian: تغییر شکل‌ها را نسبت به دستگاه محلی خود محاسبه کرده سپس نسبت به دستگاه  $C_0$  محاسبه می‌کند و بعد به دستگاه  $C_1$  منتقل می‌کند.

Updated Lagrangian: تغییر شکل‌ها را نسبت به دستگاه محلی خود محاسبه کرده سپس نسبت به دستگاه  $C_1$  محاسبه می‌کند و بعد به دستگاه  $C_2$  منتقل می‌کند. در المان‌های تیر ستون کارایی بهتری دارد. همچنین شبیه به حالت Eulerian نیز است.

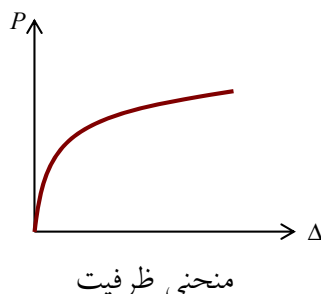
ترکیبی از Total و Updated Lagrangian می‌باشد.

89

# Introduction to Nonlinear Static Analysis

## IV. چگونگی منظور نمودن اثرات غیرخطی

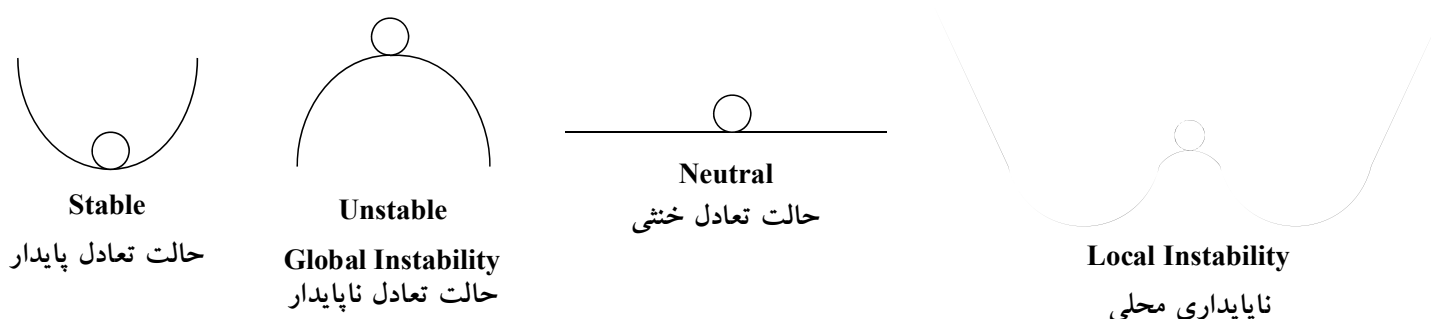
بحث پایداری (Stability)



برای بررسی باربری سازه از منحنی نیرو جابجایی استفاده می‌شود. در کنار این منحنی نیاز هست که بحث پایداری نیز بررسی شود.

ناپایداری: تغییر هندسه باعث کاهش قدرت باربری و مختل شدن تعادل سازه می‌گردد. ناپایداری با خرابی‌های بزرگ همراه است.

نمایش سمبولیک پدیده‌های پایداری و ناپایداری

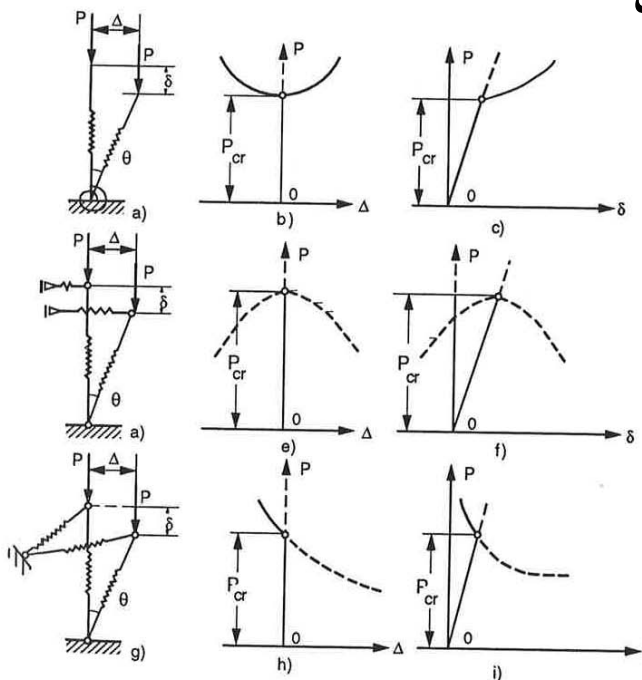


90

# Introduction to Nonlinear Static Analysis

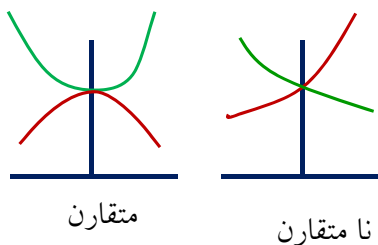
## IV. چگونگی منظور نمودن اثرات غیرخطی

### انواع ناپایداری



**(a) ناپایداری (Bifurcation):** برای سیستم سازه‌ای تحت بارگذاری مشخص، بیش از یک مسیر تعادل وجود دارد (چند خطی شدن مسیر تعادل - مبحث ستون‌ها).

با ازدیاد نیروی فشاری سیستم یا عضوی که در ابتدا در جهت نیروی اعمال شده تغییرشکل می‌دهد؛ به طور ناگهان در جهت دیگر تغییرشکل دهد. نقطه چند شاخه شدن را Bifurcation Point و بار متناظر را بار بحرانی گویند.



### انواع مسیر در ناپایداری (Bifurcation)

- I. مسیرهای پایدار
- II. مسیرهای ناپایدار

Figure (2-10) Types of bifurcation of equilibrium, (a) model of stable symmetrical bifurcation, (b) and (c) post critical behaviour of the system(a), (d) model of labile symmetrical bifurcation, (e) and (f) post critical behaviour of the system (d), (g) model of labile non-symmetric bifurcation, (h) and (i) post critical behaviour of system (g)

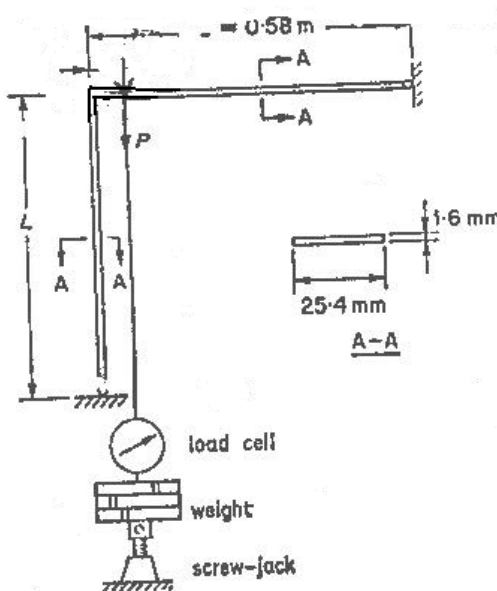
91

# Introduction to Nonlinear Static Analysis

## IV. چگونگی منظور نمودن اثرات غیرخطی

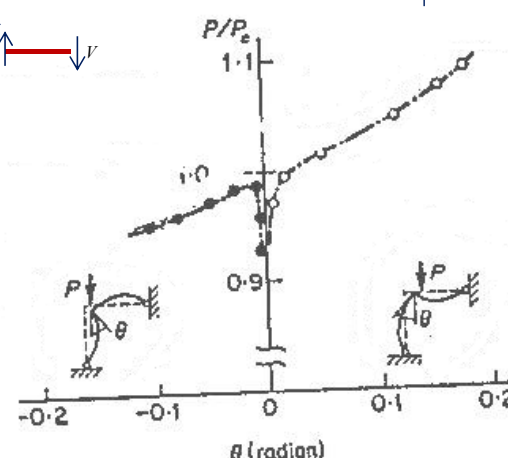
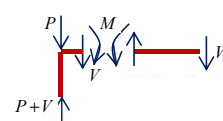
### انواع ناپایداری

#### (a) ناپایداری (Bifurcation)



برش تیر بار محوری را کم کرده سیستم را ناپایدار می‌کند

برش تیر بار محوری را زیاد کرده سیستم را ناپایدار می‌کند



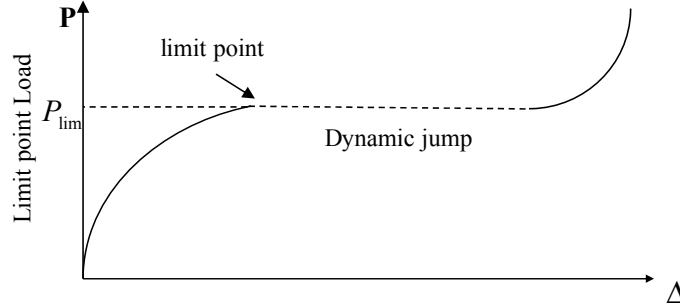
92

# Introduction to Nonlinear Static Analysis

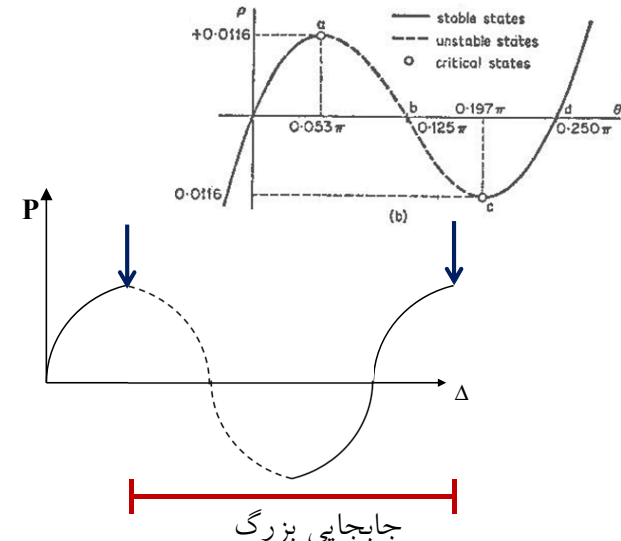
## IV. چگونگی منظور نمودن اثرات غیرخطی

### انواع ناپایداری

(b) ناپایداری فروجهش (Snap-Through) یا ناپایداری نقطه حدی (Limit Load Instability): یک سازه با مشخصه نرم شوندگی که در آن سختی با افزایش بار کاهش می‌یابد، احتمالاً پایداری خود را به شیوه‌ای که ناپایداری فروجهش (نقطه حدی) نامیده می‌شود از دست بدهد. در این نوع ناپایداری، نرم شوندگی که همراه با مد اولیه تغییر شکل (Initial Mode of Deformation) می‌باشد ممکن است با کاهش تدریجی سختی به حالتی برسد که در آن سختی سازه بکلی از بین برود. در این حالت است که گفته می‌شود مسیر تعادل بار - تغییر مکان به یک نقطه حدی رسیده است که در آن یک رفتار بسیار تغییر شکل یافته (Highly Deformed Configuration) با یک رفتار بسیار تغییر شکل یافته (Dynamic Jump) باشد. یعنی به حدی از یک بار می‌رسیم که با اعمال  $\Delta P$  بعدی از یک نقطه تعادل به نقطه تعادل غیرمجاور منتقل می‌شویم که همراه با جابجایی‌های بزرگ است.



اگر سیستم کنترل بارگذاری، به جای کنترل بار (Load Control)، از نوع کنترل تغییر مکان (Displacement Control) باشد، در این صورت می‌توان خط نقطه چین را دید.



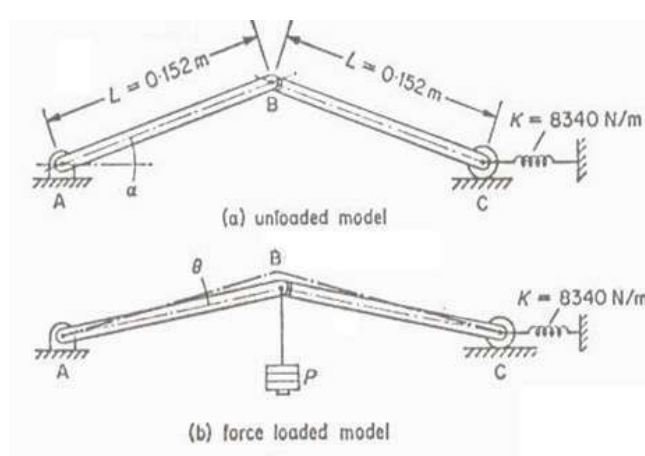
93

# Introduction to Nonlinear Static Analysis

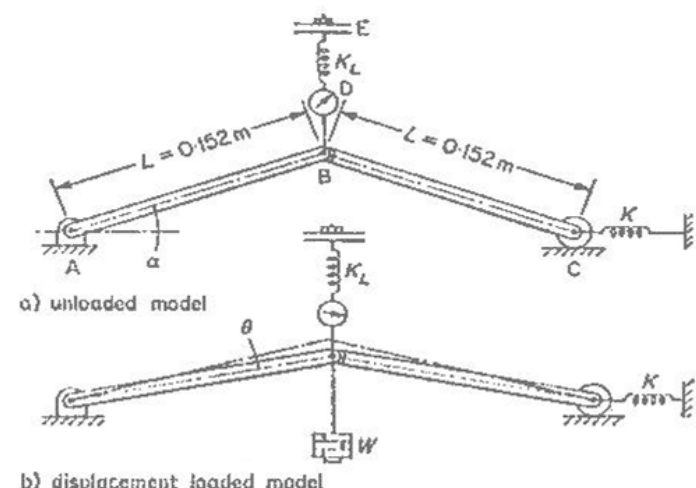
## IV. چگونگی منظور نمودن اثرات غیرخطی

### انواع ناپایداری

(b) ناپایداری فروجهش (Snap-Through) یا ناپایداری نقطه حدی (Limit Load Instability)



کنترل بار (Load Control)



کنترل تغییر مکان (Displacement Control)

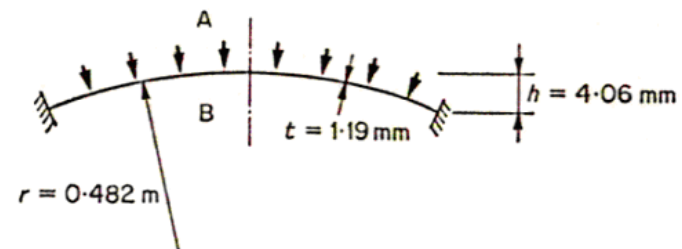
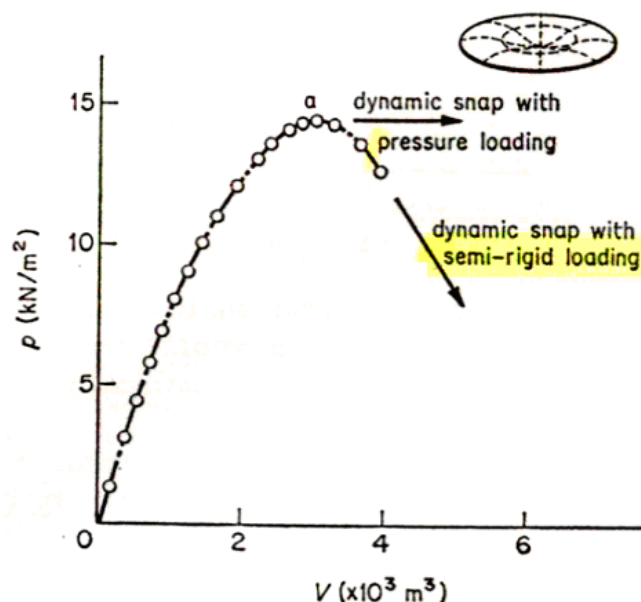
94

# Introduction to Nonlinear Static Analysis

## IV. چگونگی منظور نمودن اثرات غیرخطی

انواع ناپایداری

(Limit Load Instability) یا ناپایداری نقطه حدی (Snap-Through)



95

# Introduction to Nonlinear Static Analysis

## IV. چگونگی منظور نمودن اثرات غیرخطی

انواع ناپایداری

(c) ناپایداری Finite Disturbance Buckling: رفتاری

ما بین دو حالت قبلی ناپایداری را دارد. مانند پوسته‌های تحت

فشار

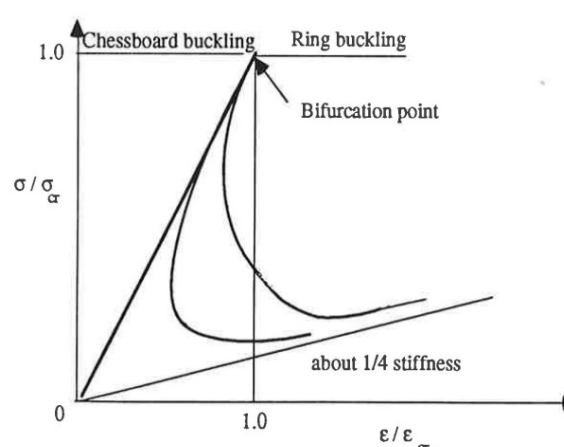
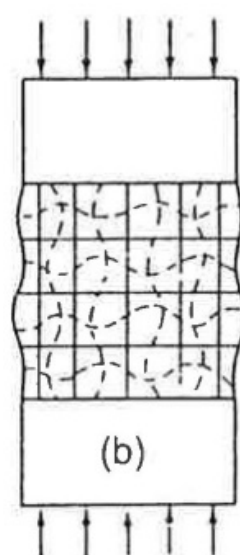


Figure (7-11) Buckling behaviour of axially compressed cylindrical shell

96

# Introduction to Nonlinear Static Analysis

## IV. چگونگی منظور نمودن اثرات غیرخطی

روش‌های تحلیل پایداری

Bifurcation Approach .I

Energy Approach .II

Dynamic Approach .III

### Bifurcation Approach

مناسب سازه‌هایی هستند که کامل (Perfect) باشند یعنی اعوجاج و تغییر هندسه‌ای در آنها وجود ندارد.

$$\text{If } \det([K]) = 0 \Rightarrow \text{Critical Load}$$

در این روش مقدار بار بحرانی برابر با مقادیر ویژه ماتریس سختی و تغییرشکل‌های مربوط به هر بار بحرانی همان بردارهای ویژه ماتریس سختی می‌باشند.

97

# Introduction to Nonlinear Static Analysis

## IV. چگونگی منظور نمودن اثرات غیرخطی

روش‌های تحلیل پایداری

### Energy Approach

رابطه کل انرژی پتانسیل سیستم (E) نوشته می‌شود : کار داخلی + کار خارجی

$$\frac{dE}{d_{DOF}} = 0 \Rightarrow$$

بار بحرانی به دست می‌آید

$$\frac{d^2E}{d_{DOF}^2} = 0 \Rightarrow$$

جهت منحنی (تقری یا تحدب) را نشان می‌دهد

### Dynamic Approach

به سیستم در لحظه نزدیک شدن به بار بحرانی ضربه (Pulse) می‌زنیم اگر حساسیت نشان نداد (دترمینان ماتریس سختی برابر با صفر باشد) می‌گوییم ناپایداری محلی است. اگر نزدیک نقطه ( $\det([K]) = 0$ ) حرکت بار بحرانی اتفاق افتاد، بار بحرانی Bifurcation خواهد بود.

98